第二十三屆旺宏科學獎

成果報告書

參賽編號: SA23-582

隊伍名稱:鹽有物

作品名稱:『鹽』之有『物』-探討食鹽環

物理機制

參賽類別:物理組

關鍵字:馬倫戈尼流、熱對流、咖啡環

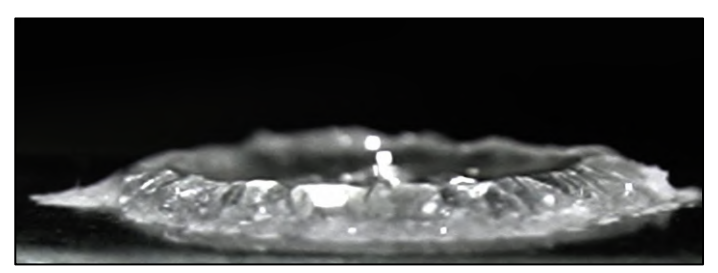
摘要

主要探討食鹽水滴在介面加熱形成環狀結晶的各種因素。藉由多組實驗及所建構的物理模型,推論影響水流的因素有熱對流、滲透壓及馬倫戈尼流,且水滴邊緣的結晶速率最大。在實驗中,測得濃度越高環高越高、在同體積不同濃度下濃度較大(25%)相比濃度較小(5%)開始結晶時間較短,且在同體積不同濃度時濃度越大需要結晶時間越長。還發現了因毛細管流所導致食鹽環在結晶時會往外延伸。環內結晶形成機制與表面蒸發不均有關,容易在接觸介面處結晶。加熱板溫度550°C時有發現萊頓福斯特效應。邊緣蒸發量不均導致類似冠狀的結構出現。且驗證了楊氏方程式修正的正確性。並利用自創的濃度測量方法測量出水滴內的濃度分佈,水滴邊緣處濃度有上升趨勢。藉由所建構的物理模型,推導出環狀結構的成因為水滴邊緣結晶速率最快、內部流動方向的綜合結果。應用部分,自製濃度測量方法可測得水滴內不同位置、時間的濃度,可應用在關於擴散、對流等領域中。

膏、前言

一、研究動機

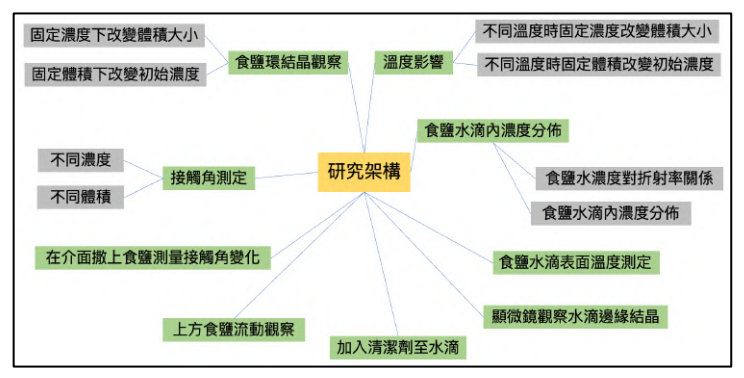
因為本身近視的關係,會有戴角膜塑形片的需求,需要用到生理食鹽水沖洗鏡片。在某天,發現桌上的生理食鹽水滴結晶後會形成一圈的食鹽環,在上網搜尋資料後,才發現此現象類似咖啡環效應。咖啡環效應,是指小液滴滴在固體表面蒸發後,發生顏色由內而外的環型。這個發現,引起了我們對於小食『鹽』水滴各種物理機制的好奇。



圖一、食鹽環示意圖

二、研究目的

研究大致分為觀察圓形對稱食鹽水滴滴在介面上蒸發、加熱後的各種物理機制。



圖二、為研究架構圖綠色為變因,灰色為細項

(一)食鹽環結晶觀察

- 1.固定濃度下改變體積大小觀察食鹽環狀態
- 2.固定體積下改變初始濃度觀察食鹽環狀態

(二)溫度影響

- 1.不同溫度時固定濃度改變體積大小觀察食鹽環狀態
- 2. 不同溫度時固定體積改變初始濃度觀察食鹽環狀態
- (三)食鹽水滴內濃度分佈
 - 1.食鹽水濃度對折射率關係
 - 2.食鹽水滴內濃度分佈

(四)接觸角測定

- 1.不同濃度、體積接觸角測定
- (五)在介面撒上食鹽測量接觸角變化
- (六)加入清潔劑至水滴
- (七)食鹽水滴表面溫度測定
- (八)上方食鹽流動觀察
- (九) 顯微鏡觀察水滴邊緣

貳、研究設備及器材

一、實驗裝置及器材

(一)實驗材料:Tracker、燒杯、食鹽、攪拌棒、微量滴管、線香、加熱板、不鏽鋼介面、相機及鐵尺、滑車、雷射筆、複式顯微鏡、煙霧機及紅外線熱像儀。



圖三、濃度分佈實驗滑車與雷射筆



圖四、煙霧機



圖五、微量吸管

参、研究過程或方法

一、名詞定義

(一)標準狀態:溫度90℃,介面為不鏽鋼的環境定義為標準狀態。

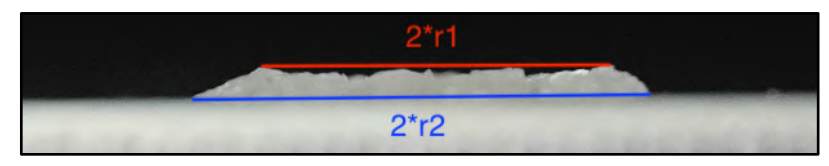
(二)食鹽水濃度:食鹽水重量百分濃度,即<u>溶質重量</u> × 100%

(三)水滴半徑:以食鹽水滴對稱中心至邊緣的距離

(四)食鹽環半徑:

上半徑:如下圖,上半徑為食鹽環上層左邊緣與右邊緣連線除二 (r_i) 。

下半徑:如下圖,下半徑為食鹽環與介面交界面左邊緣與右邊緣連線除二 (r_2) 。



圖六、平均半徑為 $\frac{r_I+r_2}{2}$

(五)食鹽環寬度:即 $r_1 - r_2$ 。

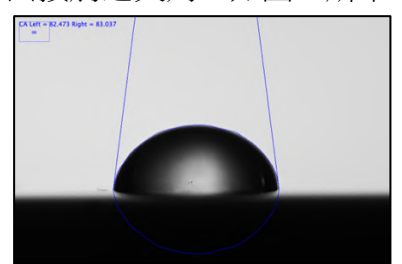
(六)食鹽環高度:如圖六所示,左邊邊緣離介面距離 h_1 ,右邊邊緣離介面距離 h_2

定義環的高度為 $\frac{h_1 + h_2}{2}$ 。



圖七、食鹽環高度

(七)表面張力S:液體表面上一小線段,與此線段垂直且與表面平行,且F = SL (八)接觸角:水滴邊緣與介面接觸之夾角,如圖七所示:



圖八、接觸角

二、研究方法

(一)食鹽環結晶觀察

- 1.固定濃度下改變體積大小食鹽環狀態
- (1)配出濃度20%的食鹽水溶液,並把介面(不鏽鋼烤盤)放上加熱板且把溫度調至90°C。
 - (2)依序滴出體積10 μL、20 μL、30 μL、40 μL、50 μL的水滴。
 - (3)利用相機從側面及上方拍攝縮時攝影。
 - (4) 用tracker、imageJ分析側視縮時影片直徑變化並分析食鹽環的形狀、半徑。
 - 2.固定體積下改變初始濃度食鹽環狀態
 - (1)依序配出濃度5%、10%、15%、20%、25%的食鹽水溶液。
 - (2)把介面放上加熱板且把溫度調至90℃。
 - (3)並依序滴上各個濃度體積30µL到介面上。
 - (4)利用縮時攝影拍攝食鹽水滴蒸發情形。
 - (5)用tracker、imageJ分析側視縮時影片直徑變化並分析食鹽環的形狀、半徑。

(二)溫度影響

- 1. 將介面溫度調整為30℃,研究固定濃度下改變體積大小食鹽環狀態
- 2. 將介面溫度調整為30℃,研究固定體積下改變初始濃度食鹽環狀態

3.把加熱板溫度調至550°C,並將微量吸管換成滴管,從側上方拍攝120fps縮時攝影。 (三)濃度分佈實驗

1.實驗流程

(1)濃度對折射率之關係

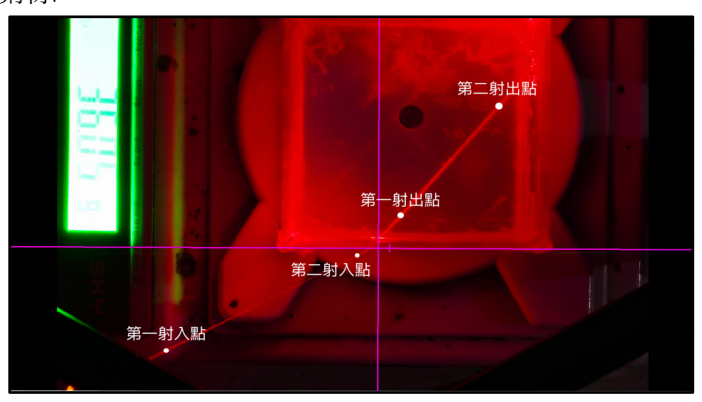
利用自製壓克力盒子,配出不同濃度食鹽水,利用雷射從側方射入並將拍攝的照片 丟入tracker後,利用座標算出折射角與入射角,並算出此食鹽水濃度的折射率,以方便 我們之後回推內部濃度。

(2)食鹽水滴濃度分佈

將相機架在相機位置後調整雷射使雷射光垂直介面,滴出濃度25%、體積50μL的水滴並開啟煙霧機以利拍攝光路。用手緩慢移動滑車使雷射光掃過水滴並拍射照片。最後在用tracker及C++(程式碼在附件二)算出折射率。

2. 算法

(1)濃度對折射率關係



圖力、實驗示意圖

我們把壓克力介面定為y=0,且x軸與壓克力板平行,我們可以從tracker中找出入射光與 折射光角度,算法如下:

假設第一入射點為 (x_1,y_1) ,第二入射點為 (x_2,y_2) ,第一射出點為 (x_3,y_3) ,第二射出點為 (x_4,y_4) ,則入射角 θ 的sin值即為:

$$sin\theta = \frac{|x_1 - x_2|}{\sqrt{(x_1 - x_2)^2 + (y_1 - y_2)^2}}$$

而折射角 θ 的sin值即為:

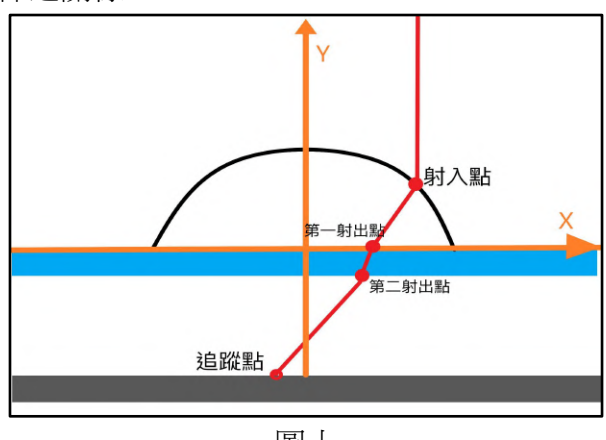
$$\sin \theta' = \frac{\left| x_3 - x_4 \right|}{\sqrt{\left(x_3 - x_4 \right)^2 + \left(y_3 - y_4 \right)^2}}$$

根據司乃耳定律我們可以得知:

$$n_0 sin\theta = n_1 sin\theta'$$

其中 $\mathbf{n}_{\mathcal{O}}$ 為空氣折射率,約1.00027, $\mathbf{n}_{\mathcal{I}}$ 為食鹽水在該濃度時的折射率,我們因此可以做出濃度對折射率的關係。

(2)食鹽水滴濃度分佈之關係



圖十

圖十為濃度分佈裝置實驗示意圖,其中雷射光(紅色)垂直射入水滴,經過水滴內折射後第一次打到壓克力板的點定義為第一射出點,經板子折射後射出的點定義為第二射出點,最後光線經空氣折射後打到底板的點定義為追蹤點。因為實驗裝置及各種環境因素的影響,我們難以用錄影的方式測出第一射出點的座標及水滴內折射光路,但我們可以利用以公式導出水滴以圓心往外的濃度分佈測量方法(見附件一)。即可利用射入點 (x_0,y_0) 、第二射出點 (x_2,y_2) 、追蹤點 (x_3,y_2) 得到 n_2 (平均折射率

(位置*x*座標 $\frac{x_0 + x_1}{2}$))為:

在 $x_0 > x_2 \cdot x_1 > x_2$ 時:

$$n_{2}=n_{1}\frac{\left|x_{3}-x_{2}\right|}{\left|x_{0}-x_{2}-d\right|}\frac{\sqrt{\left(x_{0}-x_{2}-d\right)^{2}+\left(y_{0}-y_{2}-r\right)^{2}}}{\sqrt{\left(x_{3}-x_{2}\right)^{2}+\left(y_{3}-y_{2}\right)^{2}}}$$

 $Ex_0 < x_2 \cdot x_1 < x_2$ 時:

$$n_{2}=n_{1}\frac{\left|x_{3}-x_{2}\right|}{\left|x_{0}-x_{2}+d\right|}\frac{\sqrt{\left(x_{0}-x_{2}+d\right)^{2}+\left(y_{0}-y_{2}-r\right)^{2}}}{\sqrt{\left(x_{3}-x_{2}\right)^{2}+\left(y_{3}-y_{2}\right)^{2}}}$$

我們利用C++程式,以方便我們處理數據,請見附件二。此方法即可得到食鹽水滴內的濃度分佈。

(四)接觸角測定

利用imageJ將食鹽環結晶觀察數據分析初始的接觸角。分別將左邊與右變接觸角做平均後得到平均接觸角。

(五) 在介面撒上食鹽測量接觸角變化

將濃度25%、體積 $10\mu L$ 食鹽水水滴,滴在鋪滿食鹽的介面上,觀察相同情形下側視狀態。

(六)加入清潔劑

加熱板溫度 30° C,將濃度20%、體積 50μ L 食鹽水滴滴在介面後加入一小滴清潔劑水溶液並觀察其結晶狀態。

(七)食鹽水滴表面溫度測定

利用紅外線熱像儀垂直拍攝水滴,並分析表面溫度分佈。

(八)上方觀察食鹽流動

體積20 µL、濃度分別為25%及15%,從上方拍攝縮時攝影

(九)顯微鏡觀察邊緣

利用複式顯微鏡拍攝(倍率40倍)錄製水滴邊緣結晶狀態

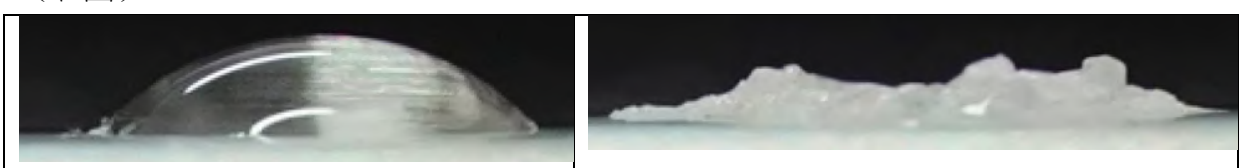
肆、研究結果

一、食鹽環結晶觀察

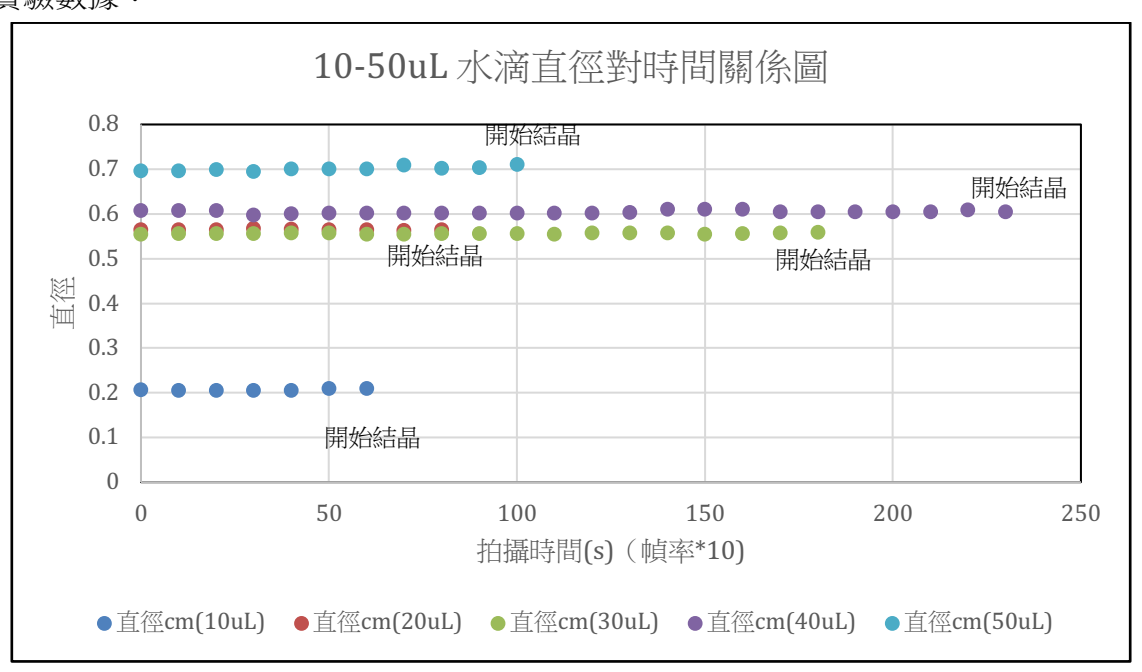
(一)固定濃度下改變體積大小食鹽環狀態

1.實驗演示:濃度20%、體積10µL、加熱板溫度90℃

經過分析,左邊邊緣在加熱60秒後開始結晶,如下表格左邊。而在約230秒後結晶完成 (右圖)。

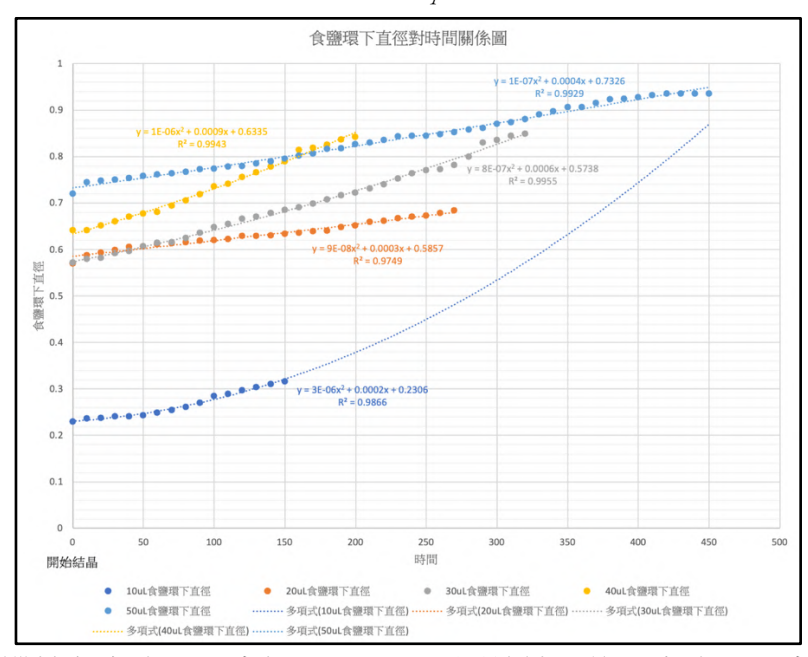


2.實驗數據:



中我們可以看出在邊緣結晶形成前,水滴直徑在加熱過程中幾乎不改變。(註:此時間為拍攝時間,因要調整對焦等因素,會在液滴滴入介面後過一段時間才有可用數據,但皆在結晶開始前就拍攝。且每張照片間隔十秒。)

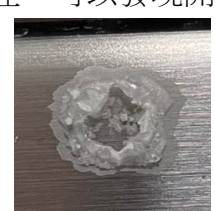
而之後在將各體積在結晶後食鹽環下直徑 r_1 對時間做圖可得:



横軸為時間,縱軸為食鹽環下直徑。可以發現開始結晶後,食鹽環下直徑隨時間增加。











從左至右為濃度20%、體積 $10-50\mu$ L食鹽環上視圖,從圖中可看到各個體積的食鹽結晶都有環狀結構,且在 $20-50\mu$ L都可看到環中有小顆粒狀食鹽結晶。

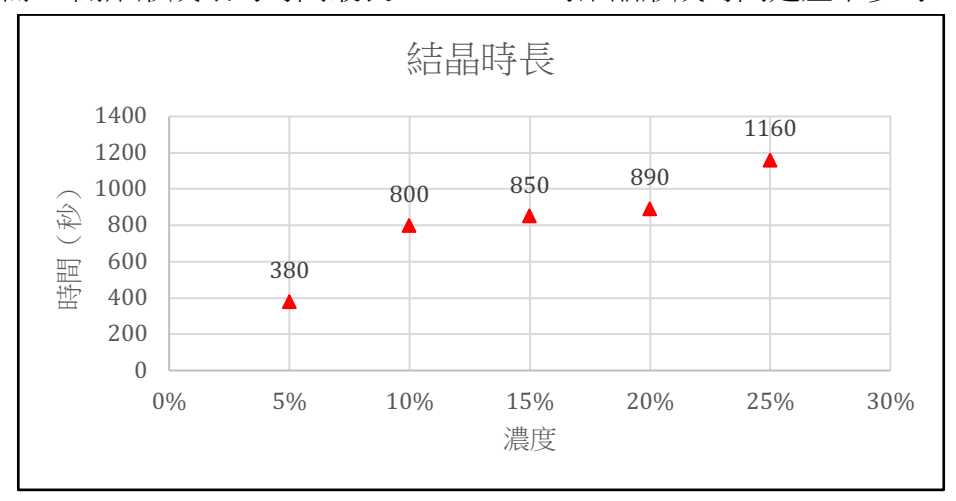
接下來將結晶完成後的各個狀態用下表描述(單位:cm):

體積	食鹽環下	食鹽環上	食鹽環直	食鹽環寬	食鹽環左	食鹽環右	食鹽環高
	直徑	直徑	徑	度	高	高	度
10 μL	0.316	0.180	0.248	0.136	0.053	0.055	0.054
$20\mu L$	0.684	0.531	0.608	0.153	0.046	0.045	0.045
$30\mu L$	0.849	0.440	0.645	0.409	0.085	0.071	0.078
$40\mu L$	0.842	0.515	0.679	0.327	0.078	0.078	0.078
50μL	0.935	0.655	0.795	0.280	0.082	0.077	0.079

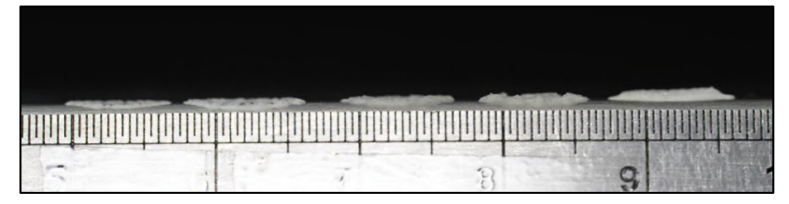
⁽二)固定體積下改變初始濃度食鹽環狀態



上圖為將各濃度開始形成結晶的時間標註出來,可以發現25%開始形成環的時間最短, 而5%開始形成環的時間最長。10%-20%的結晶形成時間是差不多的。



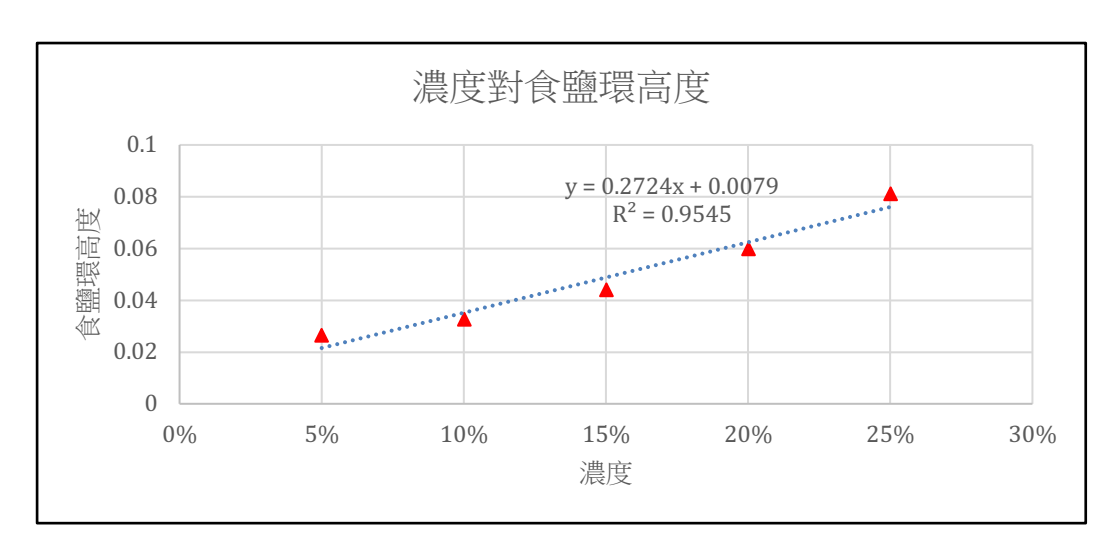
上圖為同體積不同濃度的結晶時長,及完成時間點-開始結晶時間點。可以看出濃度越大需要結晶時間越長。



此圖為結晶完示意圖,將各項這些結晶的各項狀態列在下表:

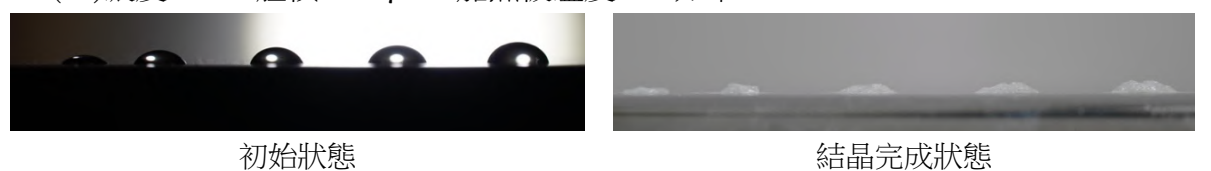
各項數據(cm)/濃度	5%	10%	15%	20%	25%
食鹽環下直徑	0.748	0.854	0.799	0.777	0.776
食鹽環上直徑	0.655	0.728	0.628	0.554	0.552
食鹽環寬度	0.047	0.063	0.086	0.112	0.112
左高	0.027	0.031	0.048	0.057	0.058
右高	0.026	0.034	0.040	0.062	0.082
高	0.027	0.033	0.044	0.060	0.070

現在將食鹽環濃度對高度做圖可得,且會發現濃度越高食鹽環高度越大:

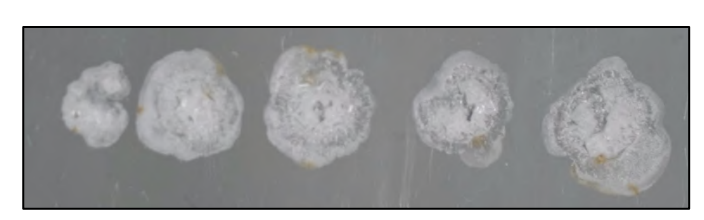


二、溫度影響

(一)濃度20%、體積10-50µL、加熱板溫度30°C如下:



上視圖:



由左至右為體積10 µL-50µL,可看到環狀較不明顯,且結晶顆粒較趨於方形

各項數據/體積	$10\mu L$	$20\mu L$	$30\mu L$	$40\mu L$	50μL
水滴曲面線段長	0.938	1.026	1.138	1.106	1.570
直徑	0.712	1.002	0.970	1.025	1.139

上表為三十度時不同體積水滴曲線長及直徑

(二)濃度5%-25%、體積30 μL、加熱板溫度30°C如下:



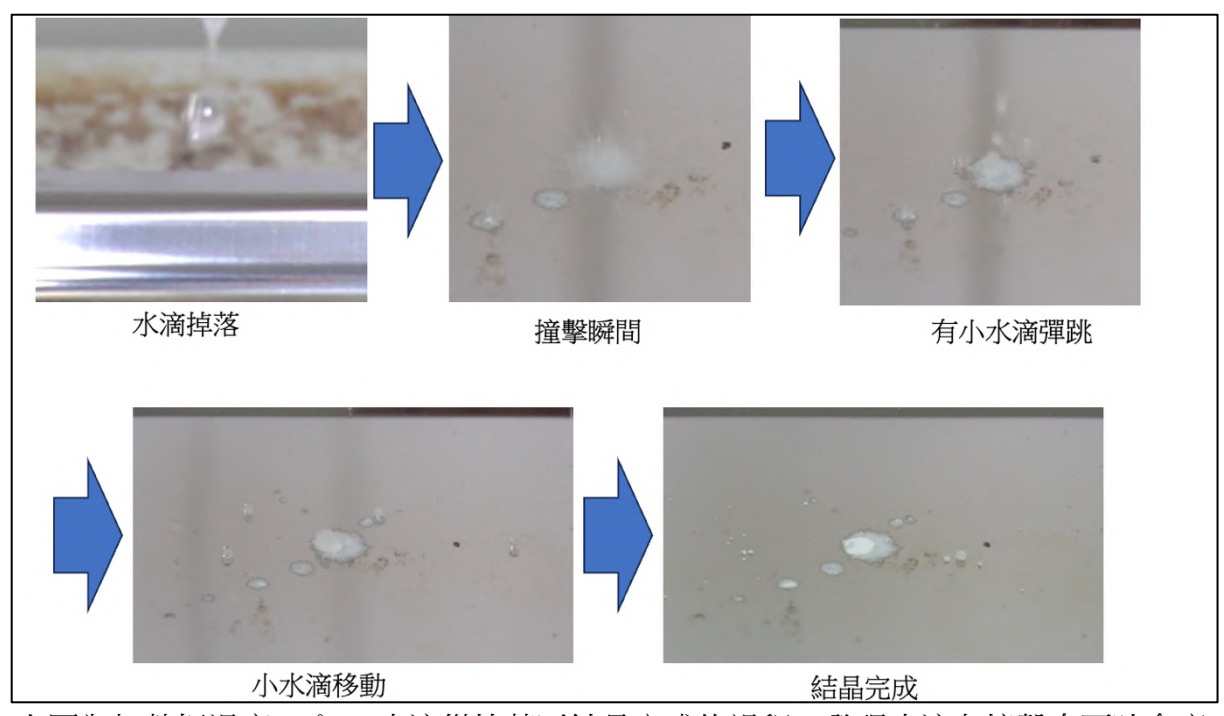
初始狀態

結晶完成狀態



由左至右為濃度5%-25%,可看出環狀不明顯

(三)加熱板溫度550°C、濃度25%

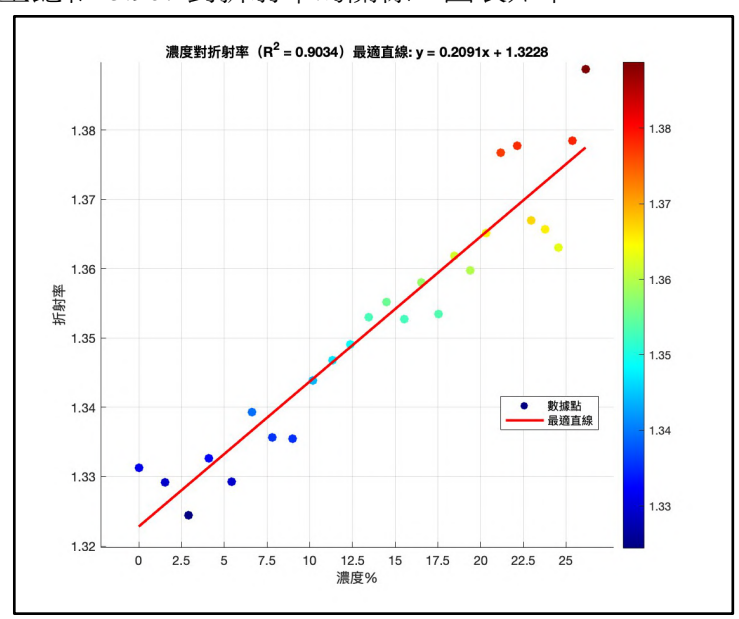


上圖為加熱板溫度550°C,水滴從掉落至結晶完成的過程,發現水滴在撞擊介面時會產生一層薄食鹽結晶,彈出的小水滴能在介面上移動很久直到結晶完成。

三、標準狀態下濃度分佈實驗

(一)食鹽水濃度對折射率關係

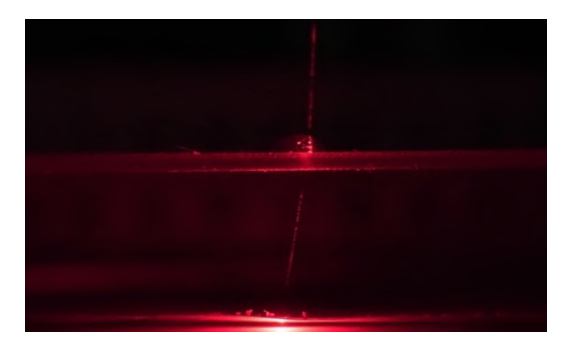
濃度從0%至飽和25.96%對折射率的關係。圖表如下:



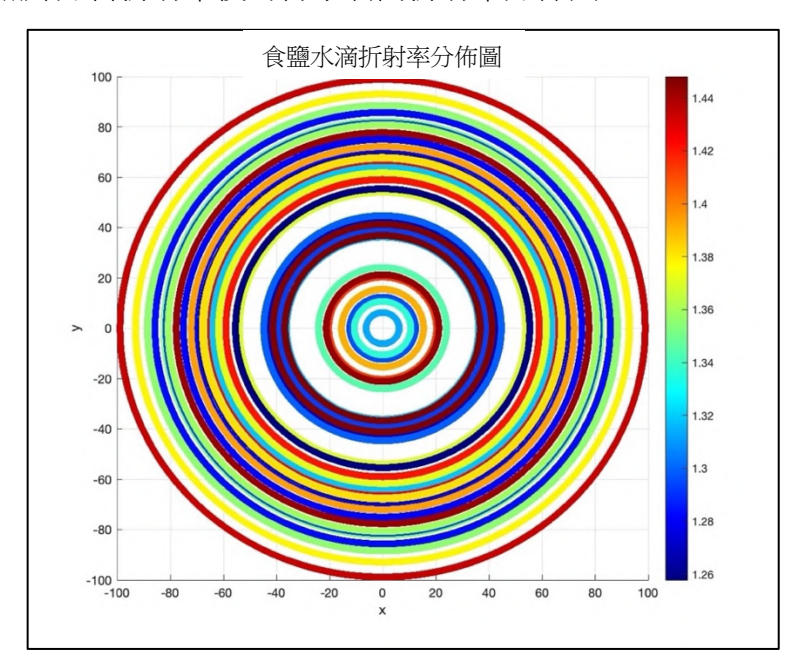
經過測量,可得濃度對折射率圖,其中最適直線為y = 0.2091x + 1.3228(此方程x要代入一般數值,非百分比)。

(二) 食鹽水滴內濃度分佈情形

測量濃度20%、體積50 μL,水滴內折射率分佈情形,拍攝照片如下:



將多張拍攝的照片分析折射率後可得水滴內折射率分佈圖:



圓點為水滴中心,從圖中可得知水滴內的折射率是不均等的,換言之,水滴內的濃度 分佈是不均等的。而因為我們是將射入及射出點做平均,在水中其實不是直線前進, 而是不斷偏折,如果我們觀察最邊緣四個數據點,因靠邊緣,射入及射出點差距小, 會較接近光實際路徑,故數據更為精準,且我們會發現越邊緣濃度越大。(藍色到紅色,折射率越大,濃度越大)

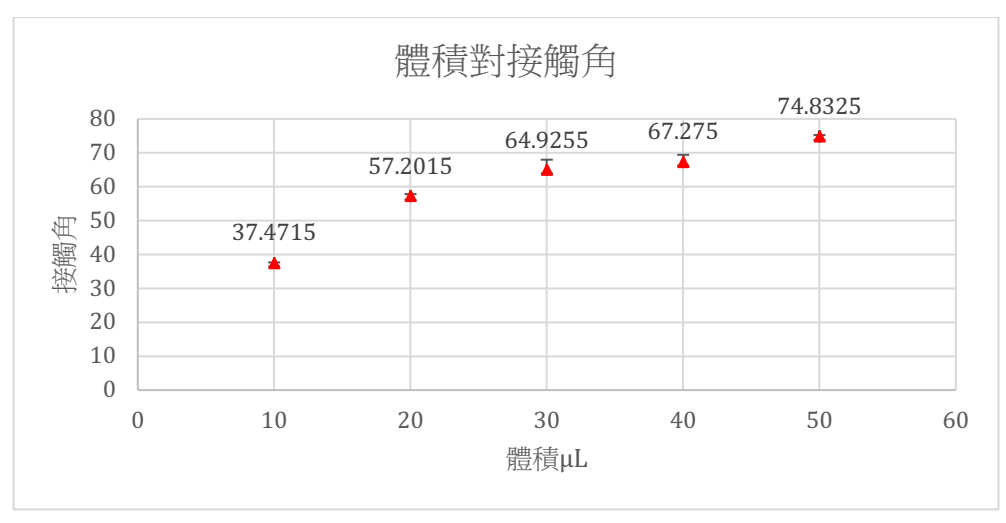
四、接觸角測定

(一)固定濃度改變體積接觸角測量(加熱板溫度30℃、初始接觸角)

實驗數據:

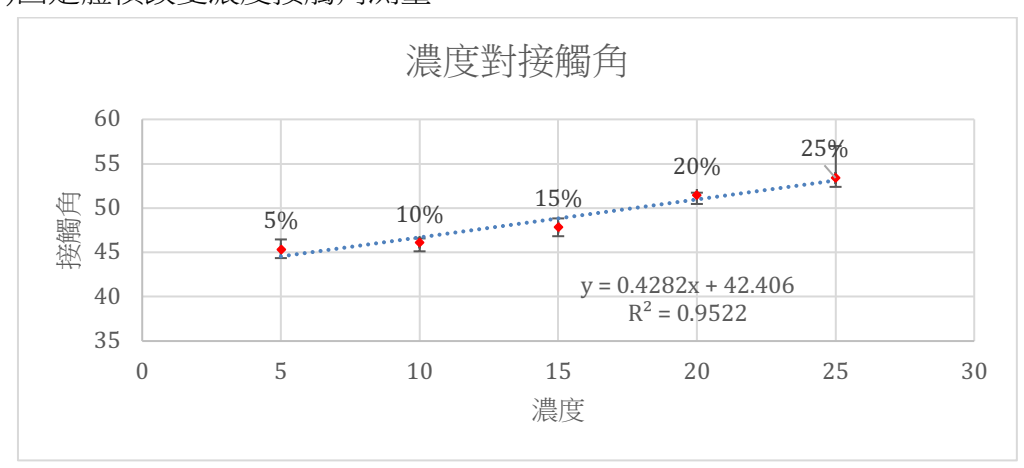
濃度20%	直徑(cm)	半徑	左接觸角	右接觸角	平均接觸角
10 μ L	0.411077	0.20554	37.662	37.281	37.472
$20\mu\mathrm{L}$	0.469489	0.23474	57.808	56.595	57.202
$30 \mu\mathrm{L}$	0.472857	0.23643	67.971	61.88	64.926
$40\mu\mathrm{L}$	0.522389	0.26119	69.415	65.135	67.275
50 μ L	0.5510698	0.27553	75.238	74.427	74.833

做圖如下:



上圖為體積對接觸角做圖,會發現體積越大接觸角越大

(二)固定體積改變濃度接觸角測量



圖中可發現濃度越大接觸角越大,且成線性關係。

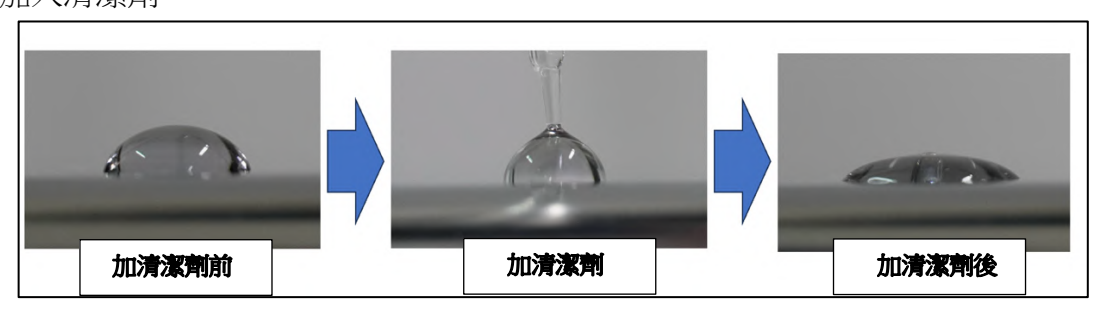
五、 在介面撒上食鹽測量接觸角變化

在濃度20%,體積10 µL比較介面是否灑鹽,如下:

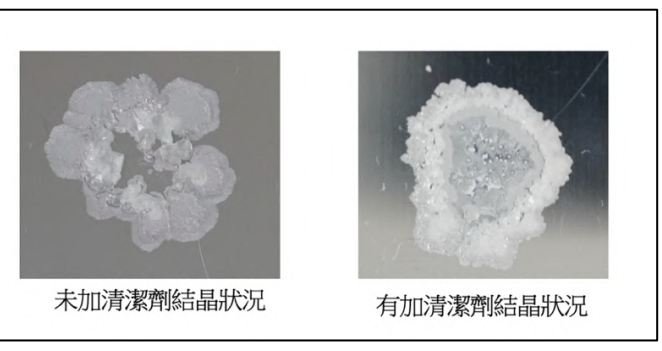


會發現有撒食鹽的接觸角明顯較同情形未撒食鹽小

六、加入清潔劑

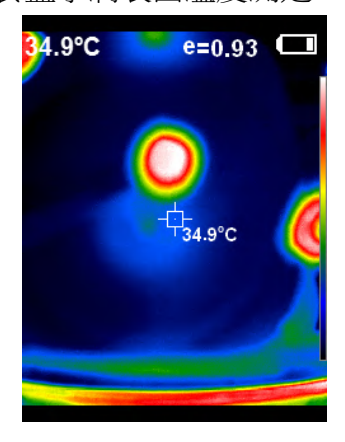


加清潔劑後可發現水滴迅速塌陷

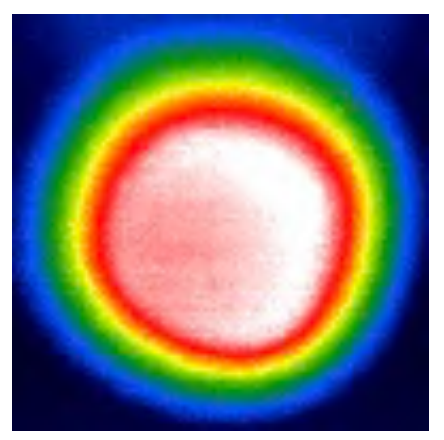


從圖可知在有加清潔劑時環狀比沒加時明顯

七、食鹽水滴表面溫度測定



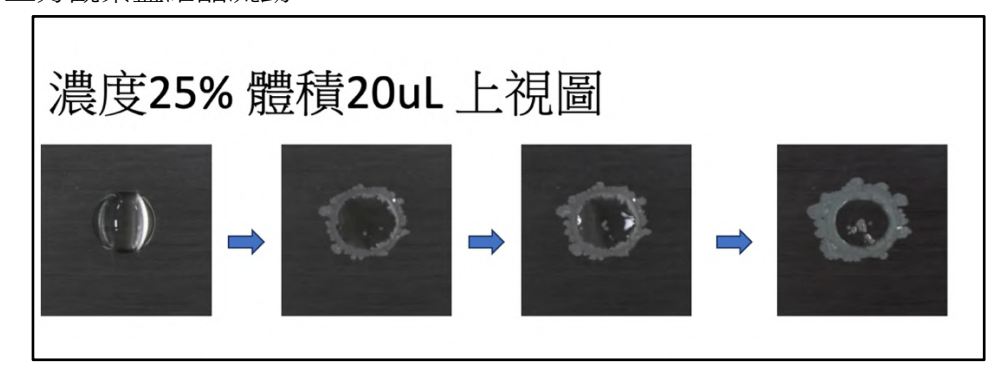
紅外線熱像儀拍攝結果



水滴中心放大

可得知水滴表面上,中心處溫度較高,邊緣溫度較低。

八、上方觀察鹽結晶流動



濃度25%、體積20 μL 、加熱板溫度90°C,會發現在結晶過程中食鹽中心也會產生結晶 顆粒。

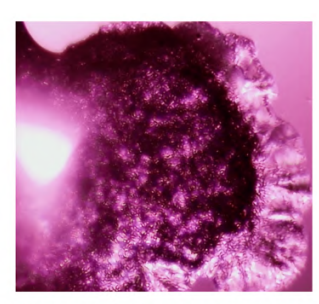
九、顯微鏡觀察邊緣





水滴(深色) 水滴邊緣開始生成食鹽 (製工) 食鹽外擴 (製工) 外擴後有類似冠狀結構





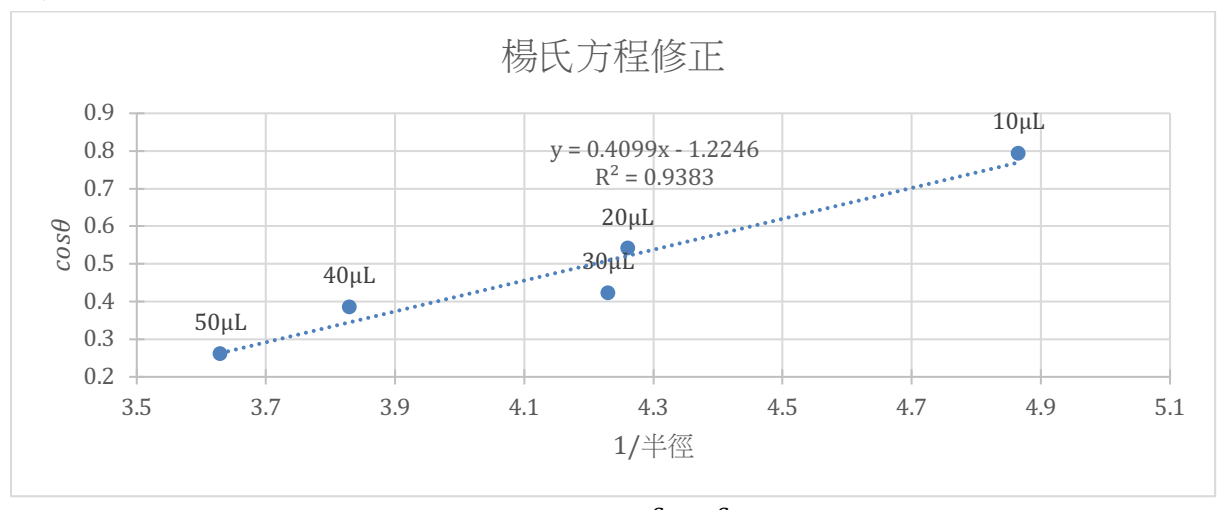
伍、討論

一、楊氏方程式修正

分析固定濃度不同體積的接觸角,與以往體積固定的楊氏方程式違背,經深入查詢資料後,發現修正過後的楊氏方程式(young's equation),描述了接觸角對半徑的關係,如下:

$$cos\theta = \frac{S_{s-g} - S_{s-l}}{S_{l-g}} + \frac{\kappa}{S_{l-g}} \frac{1}{\alpha}$$

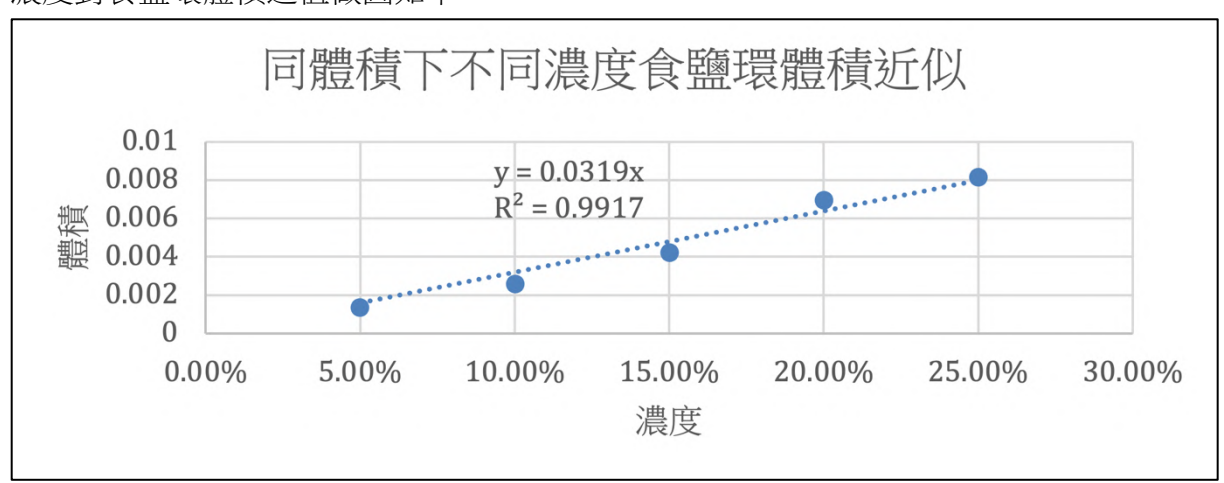
(其中 κ 為線張力(line tension), α 為半徑, S_{l-g} 、 S_{s-g} 、 S_{s-l} 為三相各兩相接觸的表面張力)



因為濃度固定,所以三項表面張力都固定,故 $\frac{S_{s-g}-S_{s-l}}{S_{l-g}}$ 為定值。將半徑倒數後做圖可得上圖,接近線性關係,顯示實驗數據與理論(呈線性關係)相符,故驗證楊氏方程修正在體積微升尺度下是成立的。

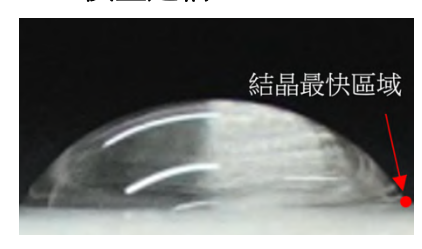
二、環型近似

濃度對食鹽環體積之值做圖如下:



實驗數據顯示食鹽環體積與濃度成正比。因為食鹽環質量正比於 $V \times n \mathcal{R}(V)$ 內海流體積、n為濃度),所以理論上食鹽環質量(體積)與濃度成正比,故實驗數據與理論相符。

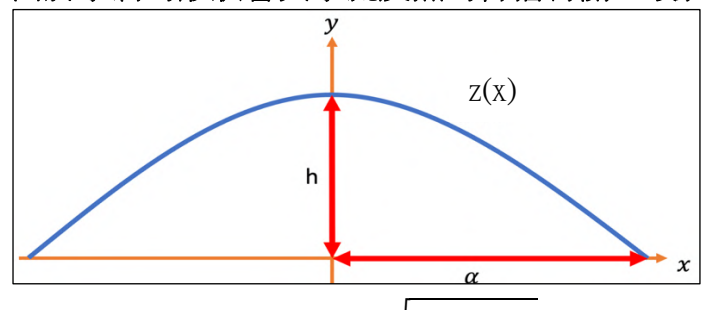
三、模型建構



從實驗中可觀察到邊緣最先結晶,以及食鹽環外擴現象, 為了深入探究結晶現象的機制,以下我們嘗試逐步建構 結晶的理論模型。

(一)水滴型態:

由於水滴的形狀會與水流及熱的傳播有關,故我們希望推算液滴表面之曲線方程式。



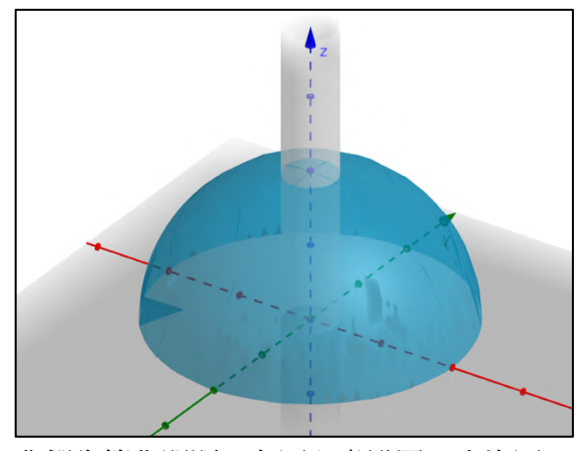
分析水滴的曲線方程式,水滴曲線z (x),高度為H,半徑為 α 水滴整體位能為U,可以寫為:

$$U = S_{l-g} \int_0^H 2\pi x \sqrt{(\frac{dx}{dz})^2 + 1} \, dz + \pi \, \alpha^2 (S_{s-l} - S_{s-g}) + \int_0^h \pi x^2 \rho g z dz$$

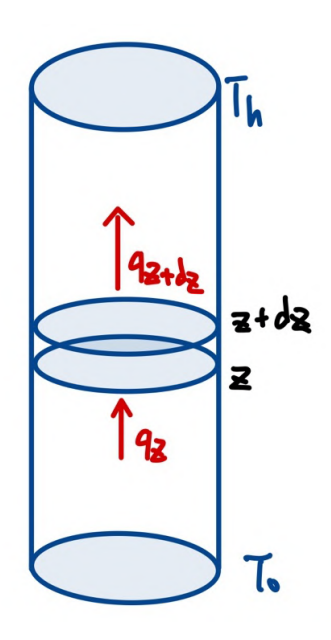
其中前兩項為水表面及底面的表面能,而最後一項為重力位能。有條件: $z(0) = h \cdot z$ $(\alpha) = 0 \cdot 接觸角\cos\theta = \frac{S_{s-g} - S_{s-l}}{S_{l-g}} + \frac{\kappa}{S_{l-g}} \frac{1}{\alpha}$,及守恆律(體積為定值): $V = \int_0^h \pi x^2 dz =$ 定值。最小化U,由 $\delta U = 0$ (變分問題),原則上即可解出z(x),接下來水滴曲線皆用z(r)表示(r為徑向)。

(二)溫度曲線數值模擬與假設:

I. 一維度熱傳導分析



我們先簡化問題,在圓心處設置一小塊圓柱,高為其液體高度,接著假設其熱傳導僅為z方向,可以得到如右一維度熱傳導示意圖。



分析在高度z一小塊圓環的熱傳導,可以列出以下式子:

$$q_z - q_{z+dz} = \rho c A \, dz \frac{\partial T}{\partial t}$$

其中A為底面積、T為溫度、t為時間、c為比熱、k為熱傳導係數,將q利用傅立葉定律 展開後可得:

$$A\frac{\partial}{\partial z}\left(k\frac{\partial T}{\partial z}\right)dz = \rho cA\,dz\,\frac{\partial T}{\partial t}$$

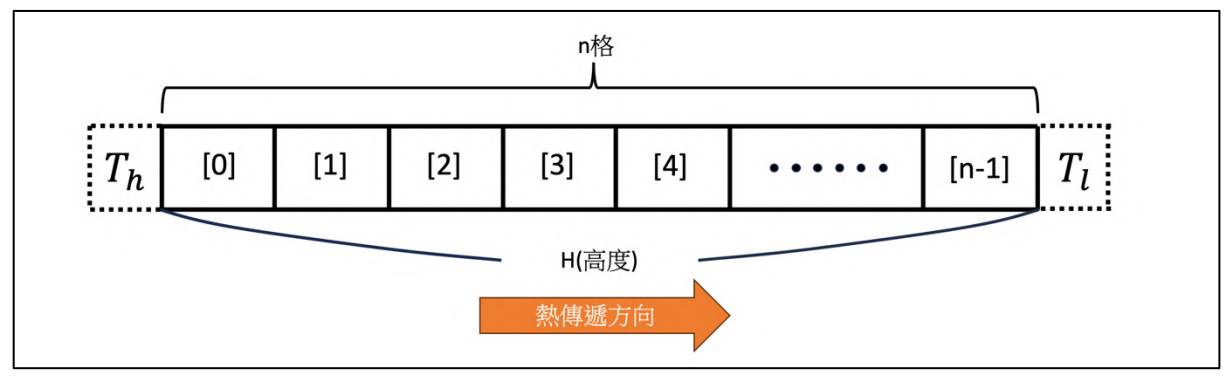
化簡可得:

$$\frac{\partial}{\partial z} \left(k \frac{\partial T}{\partial z} \right) = \rho c \frac{\partial T}{\partial t}$$

在 $0 \le z < H$ (水滴柱高度)皆會符合,然而在z=H處,還需考慮熱對流的影響。根據牛頓冷卻定律及傅立葉定律,在z=H處一小塊體積的熱流可以寫成(其中h為熱對流係數 T_s 為液體表面溫度、 T_s 為環境溫度):

$$-k\frac{\partial T}{\partial z} - h(T_s - T_l) = \rho c \, dz \, \frac{\partial T}{\partial t}$$

因為想得知溫度與位置、時間的關係,考慮到數學上的複雜性,就先以電腦C++程式來模擬溫度曲線。



如上圖所示,將高度H的水滴柱切分成n個網格,並利用迭代方法來求出不同時間的溫度分佈,每個網格在某瞬間的熱傳導如下:

$$\begin{cases}
\left(\frac{H}{n}\right) \rho c \frac{\partial T}{\partial t} = k \left(\frac{\left(T_{[1]} - T_{[0]}\right)}{H}n\right) - k \left(\frac{\left(T_{[0]} - T_{h}\right)}{H}n\right) - \left(\angle E[0]\right) \\
\left(\frac{H}{n}\right) \rho c \frac{\partial T}{\partial t} = k \left(\frac{\left(T_{[x+l]} - T_{[x]}\right)}{H}n\right) - k \left(\frac{\left(T_{[x]} - T_{[x-1]}\right)}{H}n\right) - \left(0 < x < n - 1\right) \\
\left(\frac{H}{n}\right) \rho c \frac{\partial T}{\partial t} = -h \left(T_{[n-l]} - T_{l}\right) - k \left(\frac{\left(T_{[n-1]} - T_{[n-2]}\right)}{H}n\right) - \left(\angle E[H]\right)
\end{cases}$$

切割的網格數目與迭代時間會影響模擬的結果,根據參考資料[4],要符合CFL (Courant -Friedrichs-Lewy)才能保證數值的穩定性, CFL condition:

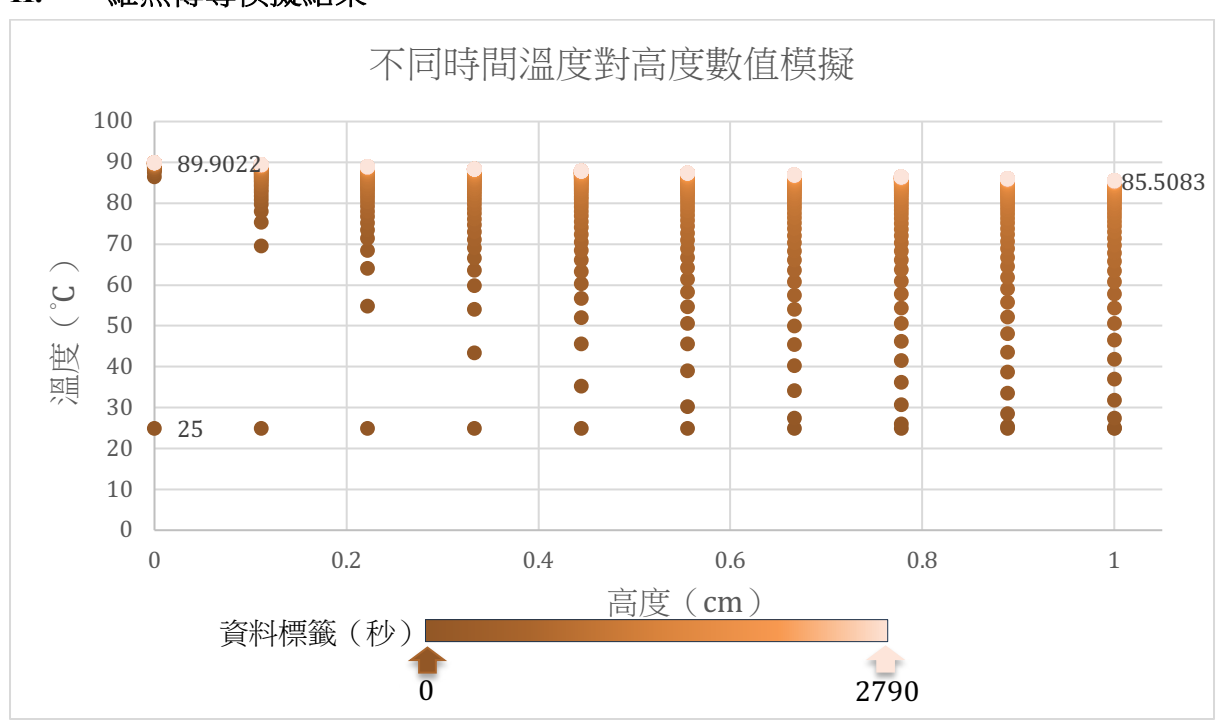
$$\frac{k dt}{\rho c dz^2} \le \frac{1}{2}$$

 $k=0.617W/(mK) \cdot \rho = 997kg/m^3 \cdot c=4200J/(kgK) \cdot dz = \frac{H}{m}$

先模擬高度0.01m、迭代時間0.1s,因要符合CFL條件所以切成50個網格(n=50),並模擬水柱初始溫度25℃、加熱板溫度90℃、環境溫度25℃、柱高1cm、迭代3600秒,程式碼如下:

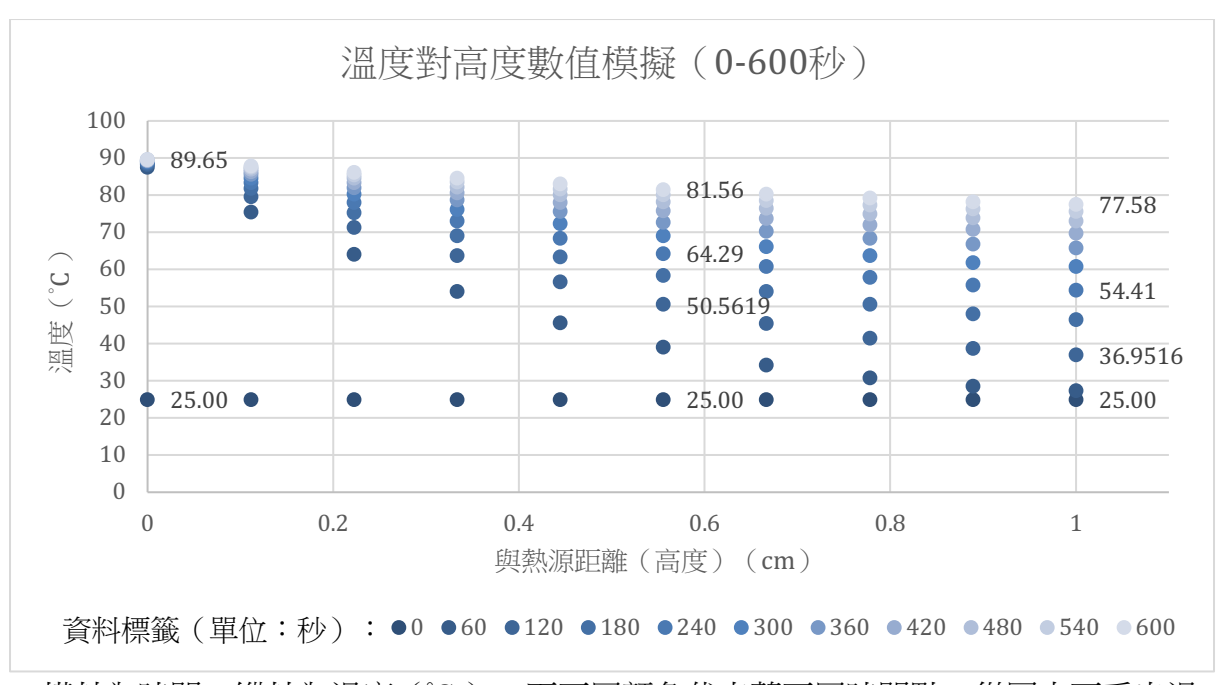
```
#include<iostream>
using namespace std;
int main(){
    float k=0.617, dt=0.1, th=90.0, tl=25.0, d=0.01, den=997.0, c=4200, h=5.0;
     int time=36000, n=50;
     float a[time][n], dx=d/n;
     for(int i=0;i<n;i++){</pre>
             a[0][i]=tl;
     for(int i=0;i<time-1;i++){</pre>
        a[i+1][0]=k*(((a[i][1]-a[i][0])/dx)-((a[i][0]-th)/dx))*dt/(den*c*dx)+a[i][0];
         for(int m=1;m<n-1;m++){
             a[i+1][m]=k*(((a[i][m+1]-a[i][m])/dx)-((a[i][m]-a[i][m-1])/dx))*dt/(den*c*dx)+a[i][m];
        a[i+1][n-1]=(h*((tl-a[i][n-1]))-k*((a[i][n-1]-a[i][n-2])/dx))*dt/(den*c*dx)+a[i][n-1];
     for(int i=0;i<time;i+=300){</pre>
        cout<<i<" ";
         for(int m=0;m<n;m+=5){</pre>
             cout<<a[i][m]<<" ";
        cout<<endl:
    return 0;
```

II. 一維熱傳導模擬結果



上圖為不同高度、不同時間的溫度分佈(水柱初始溫度 25° C、加熱板溫度 90° C、環境溫度 25° C、柱高1cm的完整模擬)。會發現到初始時溫度遞增快速,然而過一段時間後溫度趨於穩定。

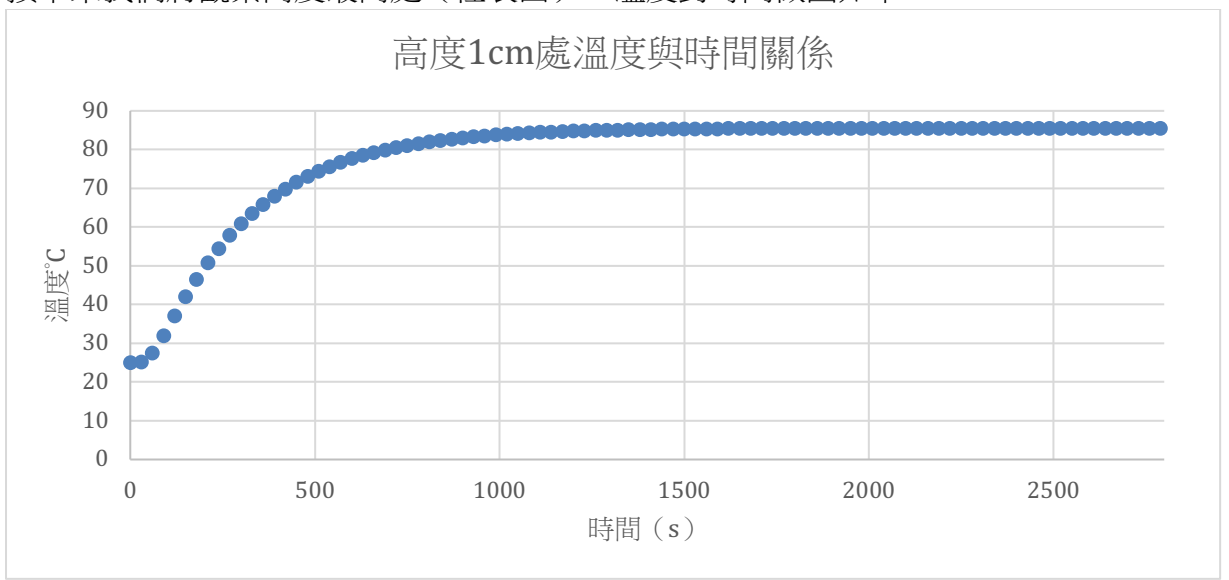
因前段時間溫度變化較大,擷取出0到10分鐘內,結果如下:



横軸為時間,縱軸為溫度(°C),而不同顏色代表著不同時間點。從圖中可看出溫度大致與高度程負相關,而同一個位置溫度隨時間遞增。

III. 溫度曲線假設與比較

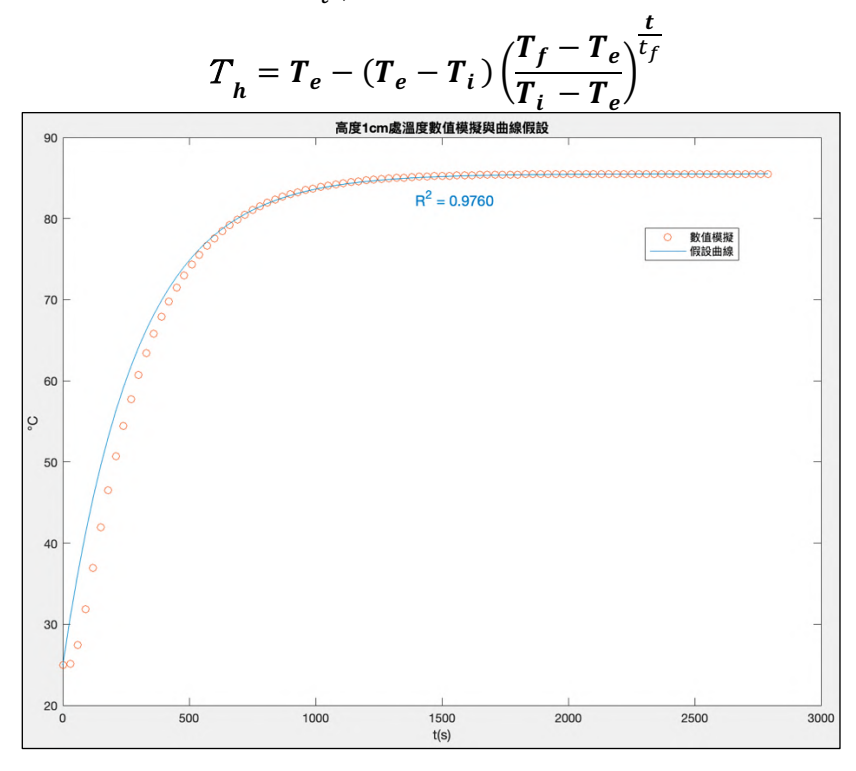
接下來我們將觀察高度最高處(柱表面),溫度對時間做圖如下:



發現溫度隨時間上升,但是溫度對時間變化率(斜率)隨時間而遞減。 觀察曲線,會發現類似 $y = A - Be^{-Cx}$ 。接著我們利用特殊點來找出函數形式。定義 T_i 為水滴最高點初始時溫度、 T_e 為熱平衡溫度。接著在定義模擬時第一個出現溫度隨時間變化率小於0.02($\frac{\Delta T}{\Delta t} < 0.02$)的點稱為追蹤點。 t_f 追蹤點時間, T_f 為追蹤點溫度。 設水柱最高點溫度對時間函數為:

$$T_{h} = A - Be^{-Ct}$$

而函數T過點 (O, T_i) 、 (t_f, T_f) ,且當 $\lim_{t \to \infty} T = T_e$ 。利用這三個條件可得到:

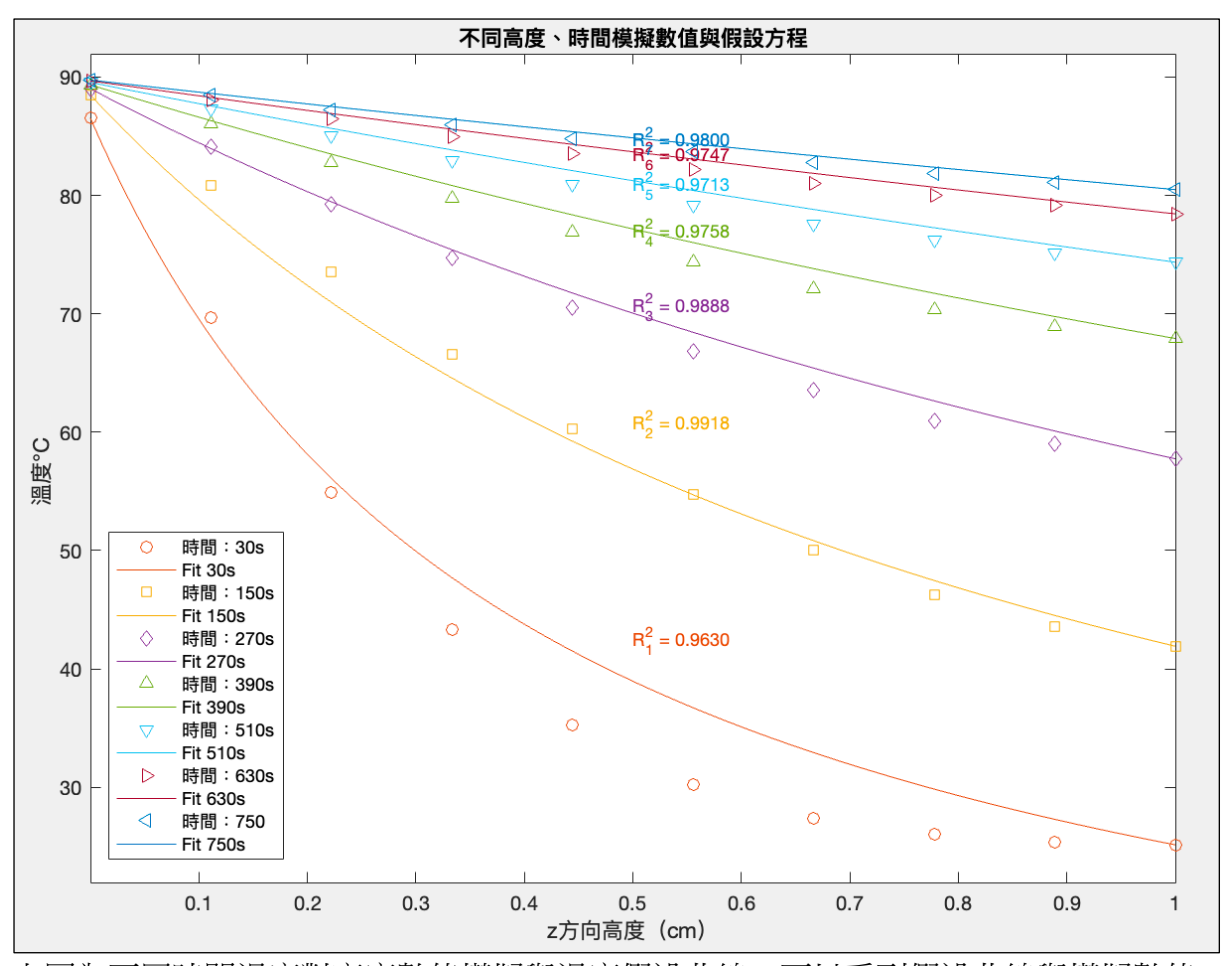


高度1cm模擬數值與假設曲線做圖,會發現假設曲線能很好的貼合模擬數據。

接著觀察同一時間不同高度的溫度曲線,會發現溫度隨高度增加而遞減,其形式與 xy = k類似,所以我們假設方程式為: $(z + \alpha)T = \beta$,其中 α 、 β 為常數,跟據邊界條件 我們可以得知T(推導見附件三):

$$T = \frac{\frac{hT_hT_0}{T_0 - T_h}}{z + \frac{hT_h}{T_0 - T_h}}$$

h為水滴高度、 T_h 為在z=h處的溫度、 T_o 為z=0處的溫度(加熱板溫度)。將模擬數據與假設曲線做圖如下:



上圖為不同時間溫度對高度數值模擬與溫度假設曲線,可以看到假設曲線與模擬數值 吻合。

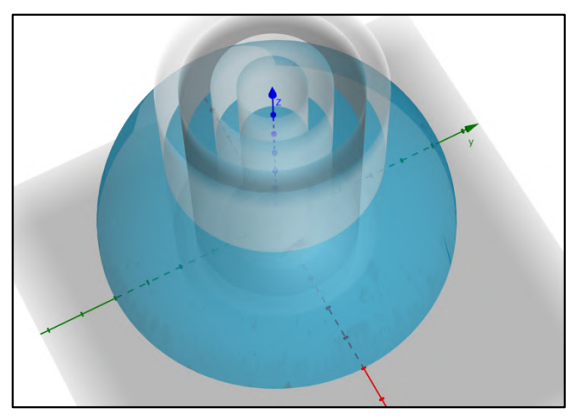
我們即可利用最高點溫度對時間關係($T_h = T_e - (T_e - T_i) \left(\frac{T_f - T_e}{T_i - T_e}\right)^{\frac{t}{t_f}}$)得知不同時間最高點溫度,再利用所得的最高點溫度帶入不同高度對溫度關係式,即可得到不同位置不同時間的溫度。推導如下(假設 T_o 固定為加熱板溫度(定值)):

在時刻最高點溫度
$$T_h = T_e - (T_e - T_i) \left(\frac{T_f - T_e}{T_i - T_e}\right)^{\frac{t}{t_f}}$$
,將 T_h 帶入 $T = \frac{\frac{hT_h T_o}{T_o - T_h}}{z + \frac{hT_h}{T_o - T_h}}$:

在t時刻、高度z處的溫度為

$$T = \frac{hT_0 \left(T_e - (T_e - T_i) \left(\frac{T_f - T_e}{T_i - T_e}\right)^{\frac{t}{t_f}}\right)}{zT_0 + (h - z) \left(T_e - (T_e - T_i) \left(\frac{T_f - T_e}{T_i - T_e}\right)^{\frac{t}{t_f}}\right)}$$

IV. 擴展分析水滴整體溫度分佈

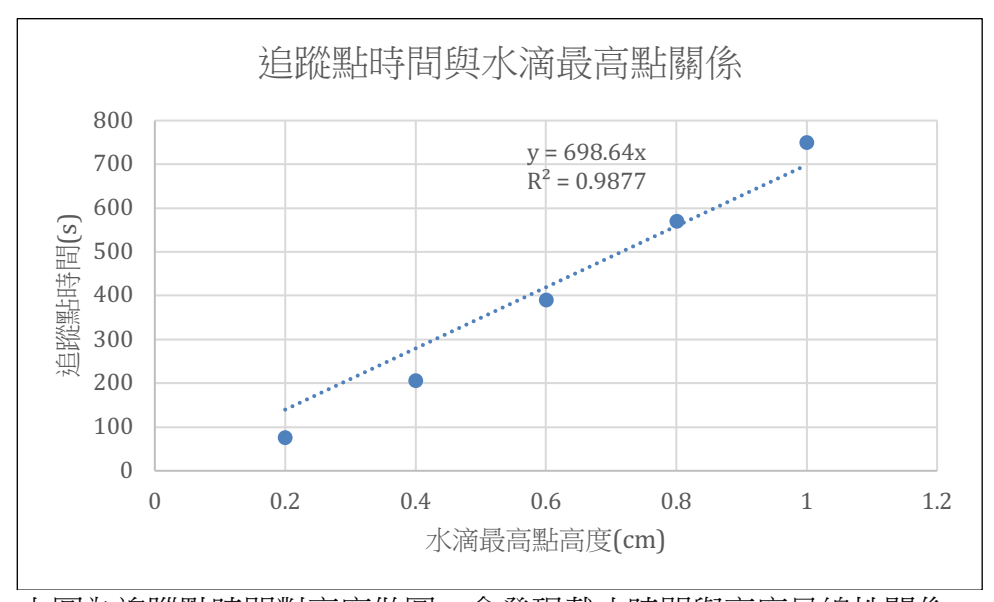


如左圖所示,我們可以將水滴切成多塊圓環柱體。而每塊的熱傳導與柱狀體相同:

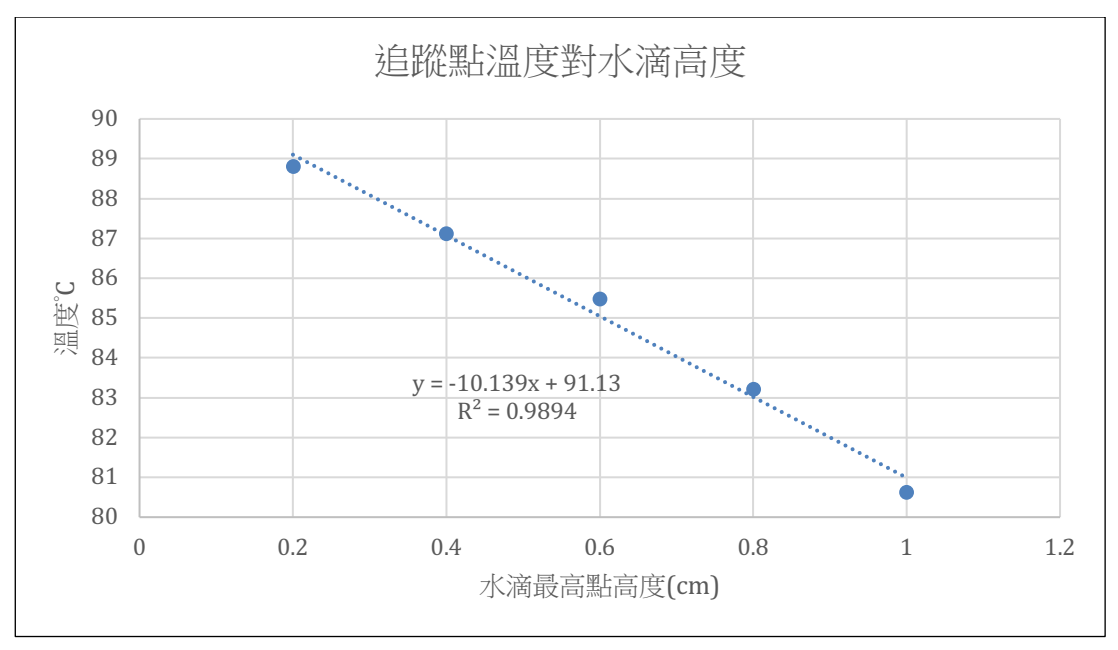
$$\begin{split} &\frac{\partial}{\partial z}(k\frac{\partial T}{\partial z}) = \rho c\frac{\partial T}{\partial t} \, (\, \text{高度0到h處} \,) \\ &-k\frac{\partial T}{\partial z} - h(T_S - T_\infty) = \rho c\, dz\frac{\partial T}{\partial t} \, (\, \text{z=h處} \,) \end{split}$$

接著可利用先前的電腦模擬程式來模擬不同高度的熱傳導情形。為了與先前一維熱傳導做對照,CFL條件設定與原本的值相同。

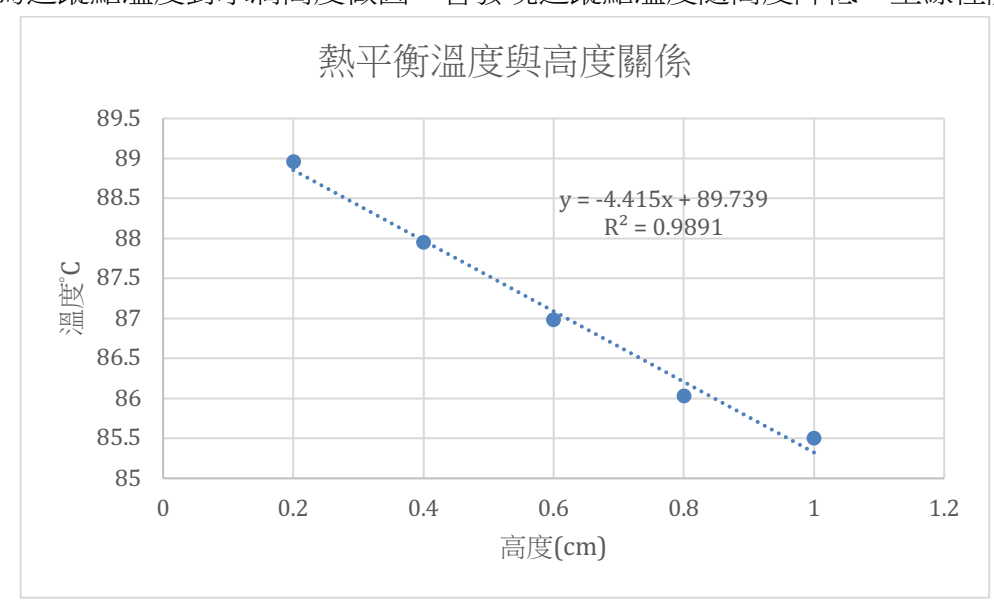
11 /					
h值 (cm)	1	0.8	0.6	0.4	0.2
n值	50	40	30	20	10
$dz(\frac{H}{n})$	0.02	0.02	0.02	0.02	0.02
Ti(水滴最高點初始 溫度 <i>℃</i>)	25	25	25	25	25
t _f 追蹤點時間(s)	750	570	390	205	75
T_f (追蹤點時水滴最高點溫度 \mathcal{C})	80.622	83.213	85.4727	87.1122	88.8113



上圖為追蹤點時間對高度做圖,會發現截止時間與高度呈線性關係。



上圖為追蹤點溫度對水滴高度做圖,會發現追蹤點溫度隨高度降低,呈線性關係。



上圖為熱平衡溫度 T_e 對高度做圖,呈線性關係。

根據這三個線性關係,我們可以假設方程式:

 $t_f = \alpha h$ (過原點,因高度h為零時追蹤點時間為零,其中 $\alpha > 0$ 為常數) $T_f = \beta h + \gamma \ (其中 \beta < 0 \cdot \gamma > 0)$

$$T_{\rho} = Mh + N \ (\sharp + M < \theta \cdot N > \theta)$$

(三)溫度函數整合:

我們可以利用先前所得的方程式整合出溫度函數T(r,z,t)。現有方程式:

$$T = \frac{hT_0 \left(T_e - (T_e - T_i) \left(\frac{T_f - T_e}{T_i - T_e}\right)^{\frac{t}{t_f}}\right)}{zT_0 + (h - z) \left(T_e - (T_e - T_i) \left(\frac{T_f - T_e}{T_i - T_e}\right)^{\frac{t}{t_f}}\right)}$$

水滴曲線: $\mathbf{z}(\mathbf{r})=\mathbf{h}$ 、追蹤點時間與高度關係 $\mathbf{t}_f=\alpha\mathbf{h}$ 、追蹤點溫度與水滴高度 $T_f=\beta\mathbf{h}+\gamma$ 及熱平衡溫度 $T_e=\mathbf{M}\mathbf{h}+\mathbf{N}$,帶入T可得:

$$\mathbf{T} = \frac{z(r)T_0 \left(\mathbf{M}z(r) + \mathbf{N} - (\mathbf{M}z(r) + \mathbf{N} - T_i) \left(\frac{(\beta - \mathbf{M})z(r) + \gamma - \mathbf{N}}{T_i - \mathbf{M}z(r) - \mathbf{N}} \right)^{\frac{t}{\alpha z(r)}} \right)}{zT_0 + (z(r) - z) \left(\mathbf{M}z(r) + \mathbf{N} - (\mathbf{M}z(r) + \mathbf{N} - T_i) \left(\frac{(\beta - \mathbf{M})z(r) + \gamma - \mathbf{N}}{T_i - \mathbf{M}z(r) - \mathbf{N}} \right)^{\frac{t}{\alpha z(r)}} \right)}$$

(四)析出食鹽條件:

食鹽從解離態到晶體的化學反應式為:

$$Na^{+}_{(aq)} + Cl^{-}_{(aq)} \rightarrow NaCl_{(s)}$$
 $\Delta H = -3.9kJ/mol$

考慮一小部分水滴從初始到結晶完成的熱傳導可以表示為(忽略水流所造成的濃度、密度變化):

$$\int_{t_0}^{t_{end}} q dt + \Delta E = \Delta E$$

其中q為熱傳遞速率(單位時間吸收的熱量)、 t_{end} 為結束時間(結晶時間), ΔE 為離子轉為晶體所放出能量、 ΔE 為一小塊體積(柱座標下)從初始到結晶吸收的熱量(因對於每一小塊體積而言,需要吸收熱量才會促使食鹽結晶)。

其中 ΔE 可以轉化成(m為分子量):

$$\Delta E = \frac{r \, d\theta \, dr \, dz \, \rho_0 n}{m} \times (-\Delta H)$$

將AE代入①並移項整理可得

$$\int_{0}^{t_{end}} q dt = \frac{r d\theta dr dz \rho_{0} n}{m} \times (\Delta H) + \Delta E$$

 $n \cdot m \cdot \Delta H$ 為定值,且因初始時水滴濃度、溫度分佈均勻,從初始到結晶該小塊體積所吸收的熱量應正比於該小塊體積之質量,故另 $\Delta E = r d\theta dr dz \rho_0 \varepsilon (\varepsilon)$ 為單位質量從初始到結晶完成所需要的熱量)。整理可得:

$$\int_0^{t_{end}} q dt = r d\theta dr dz \rho_0 \left(\frac{n \Delta H}{m} + \varepsilon \right)$$

(五)熱傳導:

現在我們探討在柱座標下的一小塊體積,位置在 $(\mathbf{r}, \boldsymbol{\theta}, \mathbf{z})$,欲計算 t_{end} 與其位置之關係,需利用 \mathbf{T} (溫度)與 \mathbf{t} (時間)關係式,再搭配傅立葉定律得到。

在柱座標下q(如下左圖所示): $q=q_r-q_{r+dr}+q_z-q_{z+dz}+q_\theta-q_{\theta+d\theta}$

因為水滴以z軸來看為對稱,在同樣的 \mathbf{r} 、z溫度一樣,與 $\mathbf{\theta}$ 無關,故 $\mathbf{q}_{\theta} - \mathbf{q}_{\theta+d\theta} = \mathbf{0}$,且溫度函數 \mathbf{T} 可以用 $(\mathbf{r}$

與 θ 無關,故 $q_{\theta} - q_{\theta+d\theta} = 0$,且溫度函數T可以用 $(\mathbf{r}, \theta, \mathbf{z}, t)$ 。將傅立葉定律帶入並化簡可得到

$$q_r - q_{r+dr} = r d\theta dz \frac{\partial}{\partial r} \left(k \frac{\partial T}{\partial r} \right) dr$$
$$q_z - q_{z+dz} = r d\theta dr \frac{\partial}{\partial z} \left(k \frac{\partial T}{\partial z} \right) dz$$

整理後可得:

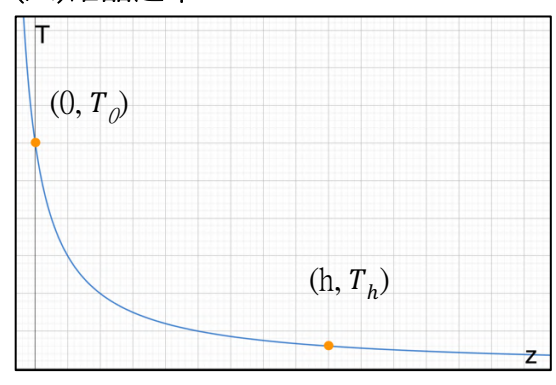
$$q = r d\theta dr dz \left(\frac{\partial}{\partial r} \left(k \frac{\partial T}{\partial r} \right) + \frac{\partial}{\partial z} \left(k \frac{\partial T}{\partial z} \right) \right)$$

將其代入析出條件整理可得:

$$\int_{0}^{t_{end}} \left(\frac{\partial}{\partial r} \left(k \frac{\partial T}{\partial r} \right) + \frac{\partial}{\partial z} \left(k \frac{\partial T}{\partial z} \right) \right) dt = \rho_{0} \left(\frac{n \Delta H}{m} + \varepsilon \right)$$

因 $ho_0 \cdot n \cdot m \cdot \Delta H \cdot arepsilon$ 對於同一水滴而言皆為常數,故等號右側為定值。

(六)結晶速率:



在任一時刻,對於在位置(**r**, **z**)的溫度表示為:

$$T = rac{rac{hT_hT_{_{\mathcal{O}}}}{T_{_{\mathcal{O}}} - T_h}}{z + rac{hT_h}{T_{_{\mathcal{O}}} - T_h}}$$

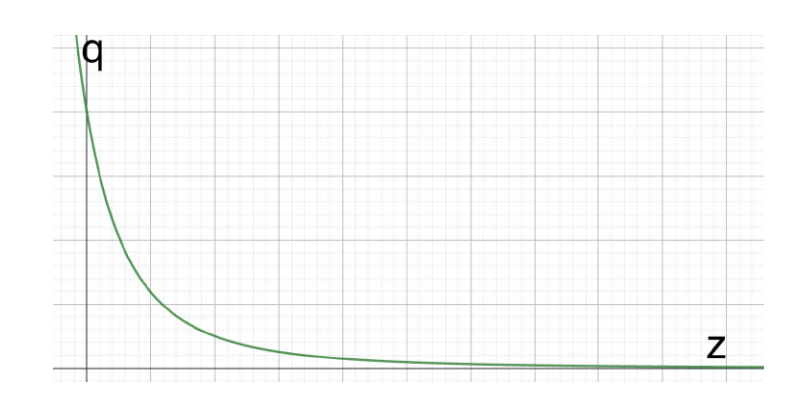
h為該徑向位置對應的水滴高度(z(r))、 T_h 為在z=h處的溫度、 T_o 為z=0處的溫度,其中 做圖如左邊,與我們預期相符。

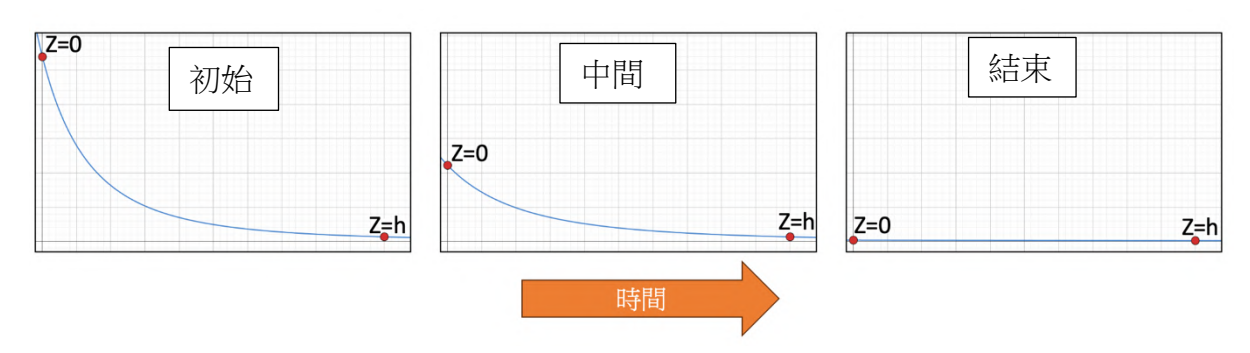
我們忽略徑向的熱傳導,只考慮垂直方向的熱傳導,即

$$\int_{0}^{t_{end}} \frac{\partial}{\partial z} \left(k \frac{\partial T}{\partial z} \right) dt = \rho_{0} \left(\frac{n \Delta H}{m} + \varepsilon \right)$$

丽
$$\frac{\partial}{\partial z} \left(k \frac{\partial T}{\partial z} \right) = \frac{2k \frac{h T_h T_o}{T_o - T_h}}{\left(z + \frac{h T_h}{T_o - T_h} \right)^3}$$
,做圖

(如右),可知z=0處最大。 對於同一水滴同一位置而言,其 T_h 會隨時間遞增,而 T_0 不變。將 T_h 調整即可得到不同時間對於同 一徑向位置、不同高度的熱傳 導。利用geogebra做圖如下:

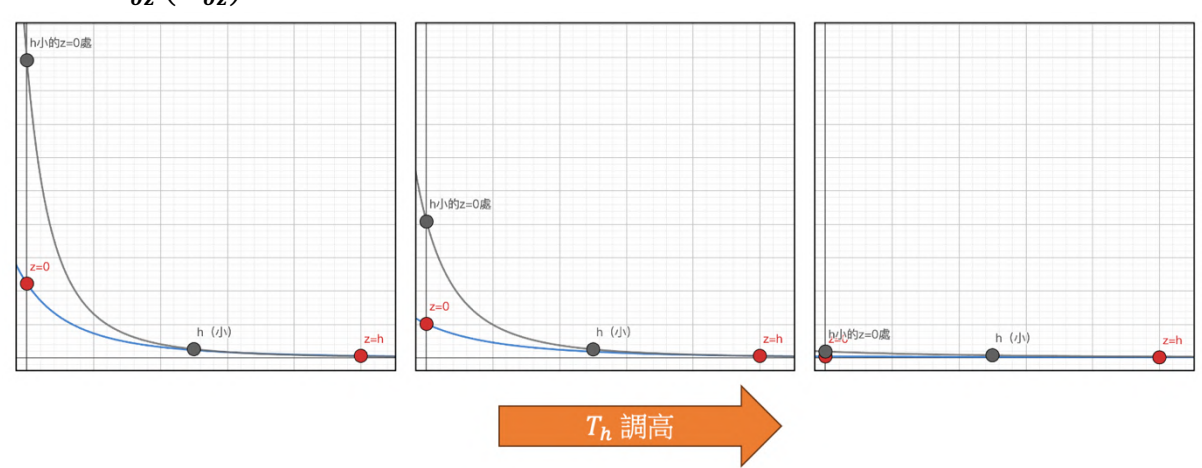




可看出從初始到結束,z=0處的 $\frac{\partial}{\partial z}\left(k\frac{\partial T}{\partial z}\right)$ 皆為最大值,而析出條件:

$$\int_{0}^{t_{end}} \frac{\partial}{\partial z} \left(k \frac{\partial T}{\partial z} \right) dt = \rho_{0} \left(\frac{n \Delta H}{m} + \varepsilon \right)$$

因右式為常數,任何時刻 $\frac{\partial}{\partial z}\left(k\frac{\partial T}{\partial z}\right)$ 都為最大值,所以位置z=0處 t_{end} 為最小。我們可推論,對於同一徑向位置、不同高度而言,z=0處所需要結晶的時間越短。接著比較不同高度的熱傳導,設定兩個h,並把兩條方程式 T_h 調高,會發現h小(即高度小)的 $\frac{\partial}{\partial z}\left(k\frac{\partial T}{\partial z}\right)$ 皆較大。



從圖形中得知,在狀態一樣下,僅h高度改變,對於同高度而言,其徑向位置對應高度越小的 $\frac{\partial}{\partial z}\left(k\frac{\partial T}{\partial z}\right)$ 越大,故**對應高度越小t_{end}越小**。



所以對於一滴食鹽水滴而言,高度越低、徑向位置對應水滴 高度越低處,結晶時間越短。綜合以上推論,水滴與介面交 界邊緣應為最先產生晶種之處,此模型對結晶速率的推論也 與顯微鏡中所觀察到邊緣最先結晶相符。

(七)水流分析

實驗中可發現食鹽環結構,我們猜想食鹽環的形成應該與水滴內的對流有關,於是我們研究以下幾種可能影響對流的機制。

1. 熱對流:

在柱座標下的連續方程為:

$$\frac{\partial \rho}{\partial t} = -\left(\frac{\partial \rho V_z}{\partial z} + \frac{\partial \rho V_r}{\partial r} + \frac{\partial \rho V_\theta}{r \partial \theta}\right)$$

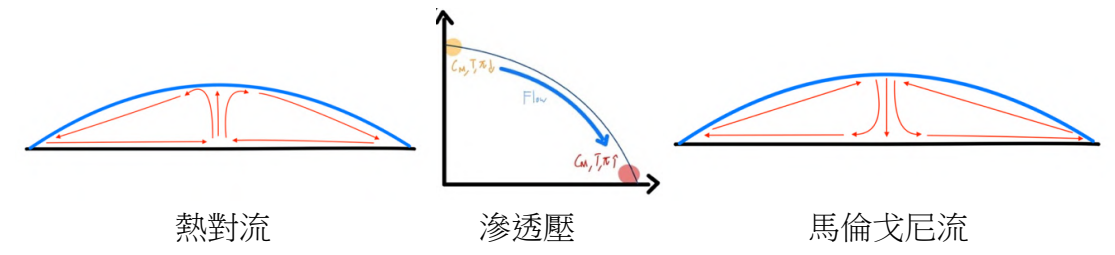
因為水滴從上往下看為對稱圓形,可知 $\frac{\partial T}{\partial \theta} = 0$,又因介面均勻加熱,故假設水平方向溫度梯度為0,僅有z方向有溫度梯度。分析水滴中心z=0處,因 $\frac{\partial T}{\partial z} < 0$,可得知一小部分水會升溫,導致密度會降低($\frac{\partial \rho}{\partial t} < 0$),因為 $r \cdot \theta$ 分量沒有溫度差,與四周接觸(相同z)的小部分體積無區別,則 $\frac{\partial \rho V_r}{\partial r} \cdot \frac{\partial \rho V_\theta}{r \partial \theta}$ 皆為零。從連續方程,因為z=0接觸介面的緣故,可知 $\frac{\partial \rho V_z}{\partial z} > 0$,故水流往上。

2. 滲透壓:

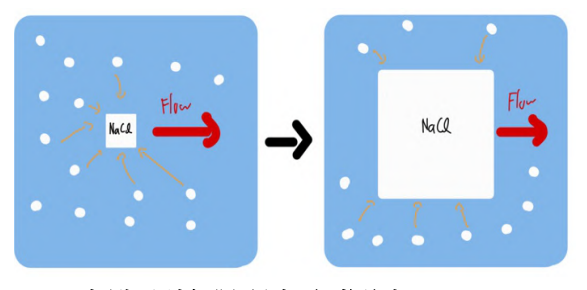
考慮在z = 0、邊緣處水滴對比水滴中心表面上一處,從熱傳導分析可知 $q_{edge} > q_{center}$,又q<單位時間水的蒸發量 \propto 濃度變化量,所以邊緣處濃度較大。現在僅分析因濃度差所導致的表面流動,根據滲透壓 $\pi = iC_mRT$ ($i=2 \cdot C_m$ 為體積莫耳濃度),可知邊緣處的滲透壓較大,所以水流會流向邊緣如下中間圖片。

3. 馬倫戈尼流:

考慮馬倫戈尼流(Marangoni Flow),水的溫度越高表面張力越小,水滴表面會有表面張力差,流動方向會由表面張力小流至較大區域,所以我們可知水流流動是這三項的平衡。

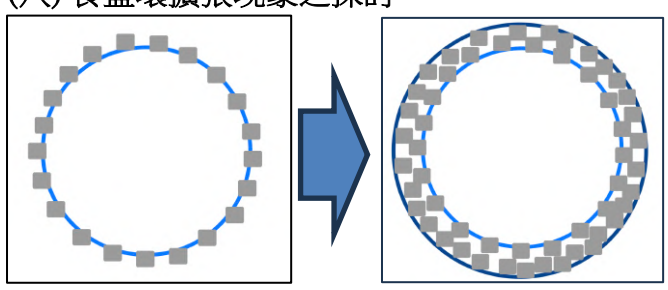


我們觀察紅外線熱像儀圖形可知表面中間溫度高,邊緣溫度低。所以證明熱對流及 滲透壓為影響流動的主要因素。



考慮液滴內流動的晶種,因吸引附近的 食鹽析出又形成更大的晶體,流動至邊 緣處時,因此處結晶速率最快,單位時 間內食鹽生成量最大,故晶體在此聚 集,形成食鹽環狀結構。

(八) 食鹽環擴張現象之探討



從介面撒鹽實驗可知撒鹽後接觸角變小,推測是因為鹽與水之間的作用力,造成毛細管流,流向指向水滴邊緣。在結晶時,析出的鹽會想把水往外帶,而鹽與鹽之間有水往外帶後又析出鹽,導致食鹽環會有往外擴張的現象。

(九)模型統整:

藉由建立物理模型,結合了結晶速率、流動,解釋食鹽環形成機制及外擴現象。

1. 結晶速率:邊緣較中心結晶快,高度低處較高處快。

2. **流動影響**:熱對流及滲透壓所帶來的流動影響較馬倫戈尼流大。晶種隨著流動 吸引附近的食鹽顆粒,聚集直到流動至水滴邊緣,並形成環狀結構。

3. 毛細管流:造成蒸發時食鹽環會有往外擴張的趨勢。

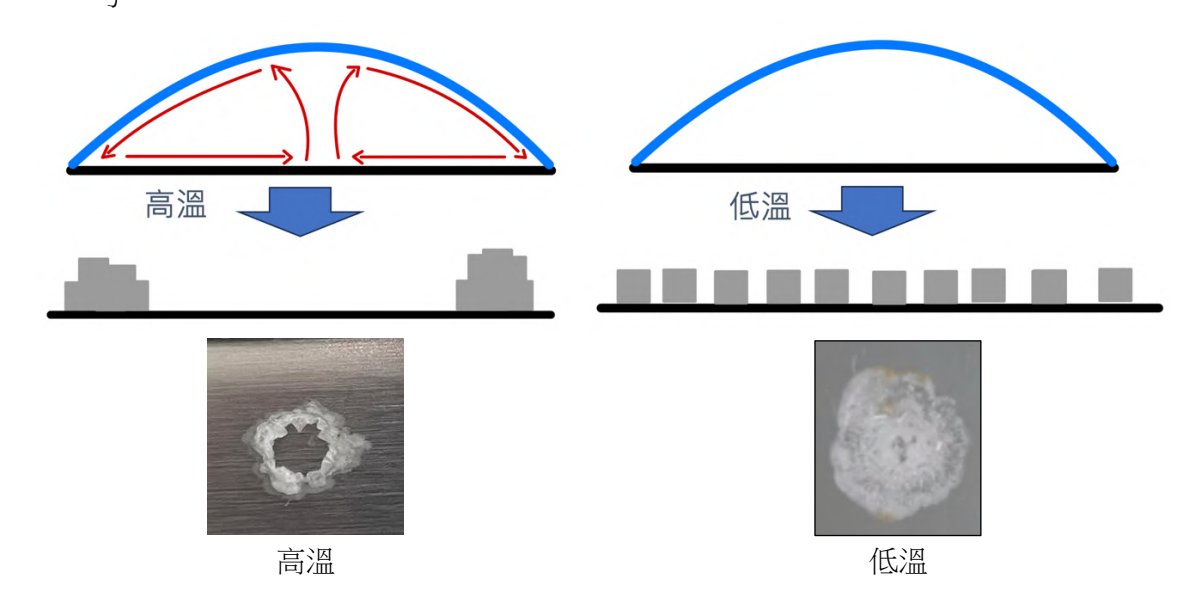
四、現象探討:

利用建立之模型討論實驗中所觀察的現象。

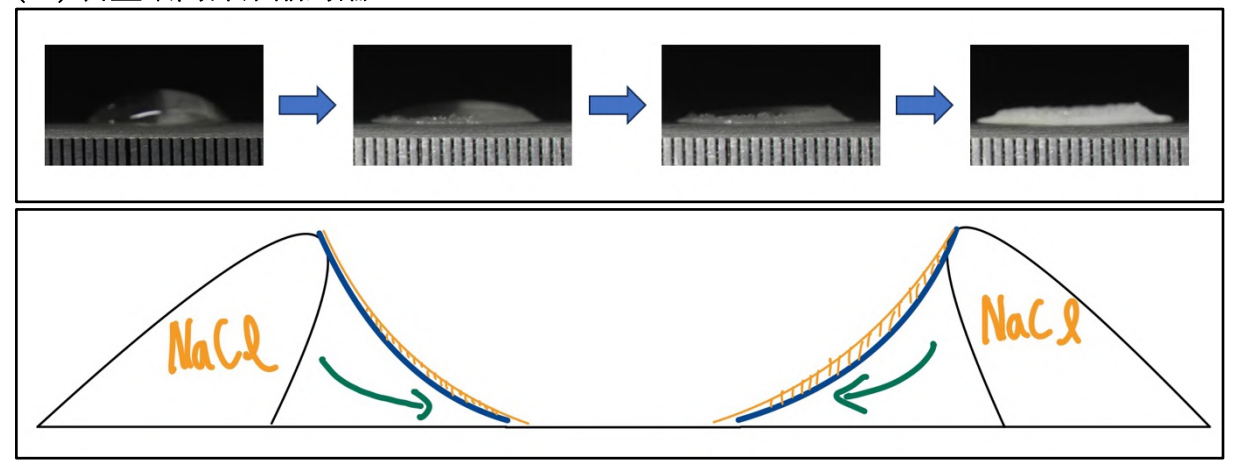
(一) 高低(常) 溫時的食鹽環結晶比較:

I. 高溫時:整體q大,因邊緣鹽生成的量大,且內部流動大,所以食鹽聚集至水 滴邊緣,易形成環。

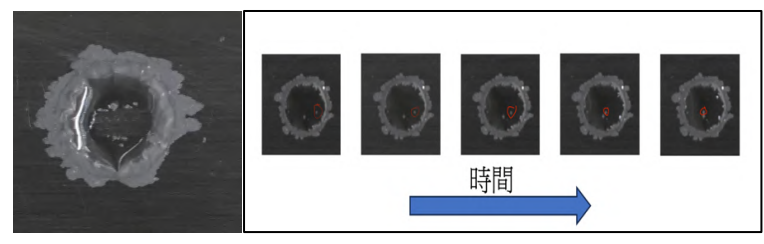
II. 低溫時: 整體q小,表面各處結晶均勻,且內部流動小,所以表面各處結晶均勻。



(二)食鹽環內部結晶討論



如上圖,現在觀察其中一邊,在一小段時間蒸發了一些體積(橘色部分),因為邊緣處對應高度低,結晶速率快,流動也帶動了鹽粒並在內圓邊緣處結晶。



左圖為濃度15%、體積20uL、上視圖,在蒸發過程中可以發現內部液體邊緣有結晶產生。甚至有發現食鹽結晶往內流如右圖。右圖為濃度25%、體積20uL,上視圖,可以發現有鹽粒由外往內帶動。

(三)加入清潔劑影響

當界面加入清潔劑時,水的表面張力被破壞,因為清潔劑的表面張力較小,所以會有明顯的馬倫戈尼流,流向指向水滴邊緣。而結晶時的環相比沒有加清潔劑時較明顯,所以可得知馬倫戈尼流會影響食鹽結晶狀態。

(四)食鹽環冠狀結構



在實驗時,發現食鹽環會出現類 似皇冠狀的結構,推論是因為初 始水滴邊緣形狀不均勻,使得水 滴邊緣各處單位時間內生成的鹽 量不一樣,導致毛細管流強度不 同,故在食鹽生成量高處形成類 似冠狀的結構。

五、在更高溫時的食鹽環結晶討論

在加熱板溫度550度時,當水滴撞擊介面時,會形成扁平形狀,而水滴下會產生一片食鹽結晶,如下左圖。而在撞擊時跳出的小水滴,會因為**萊頓弗羅斯特效應**,懸浮於介面上如下右圖,且在經過撞擊時結晶的食鹽區域並不會吸附在一起。小水滴底面會隨時間結晶出一小塊,並吸附在水滴底下,直到蒸發完成。



陸、結論

- 一. 食鹽水滴**濃度越大則折射率越大**,由**自行建置的量測系統**發現**內部濃度分佈不均** 与。
- 二. 在加熱時(結晶前)直徑不會隨時間改變。
- 三. 在同體積不同濃度時, 濃度較大者開始結晶時間較短, 但需要結晶時間越長, 且環高、食鹽環體積皆與濃度呈線性關係。
- 四. 固定體積下,接觸角隨濃度增大而變大,目呈線性關係。
- 五. 固定濃度下,接觸角隨體積增大而變大,可用修正後的楊氏方程式描述,滿足: $cos\theta = \frac{S_{s-g} S_{s-l}}{S_{l-g}} + \frac{\kappa}{S_{l-g}} \frac{1}{\alpha} \quad \circ$
- 六. 由實驗及理論推導發現,結晶速率邊緣較中心結晶快,高度低處較高處快。
- 七. **熱對流**及**滲透壓**所帶來的**流動影響較馬倫戈尼流大。晶種**隨著流動吸引附近的食 鹽顆粒,聚集直到**流動至水滴邊緣**,並**形成環狀結構**。
- 八. 因鹽與水之間的作用力,造成毛細管流,導致食鹽環會有往外擴張的現象。
- 力... 高溫時易形成環狀結構,而常溫時環狀結構不明顯。
- 十. 十因初始水滴邊緣形狀不均勻,導致**毛細管流強度不同**,故在食鹽生成量高處**形**成類似冠狀的結構。
- 十一. 結晶過程中**食鹽環中心**也會**產生結晶顆粒**,推測是因為邊緣處對應高度低,結 晶速率快,在**內圓邊緣處結晶**。
- 十二. 介面溫度夠高,小食鹽水滴會在介面彈跳,形成萊頓弗羅斯特效應。

柒、未來展望

- 一、能用更精準的儀器測量
- 二、能更精準的測量內部鹽粒流動
- 三、能利用濃度分佈測量方法測出結晶時的水滴內濃度分佈
- 四、能利用數值方法算出 ρ_0 ($\frac{n\Delta H}{m} + \epsilon$) 的實際值。

捌、應用

濃度測量方法革新

藉由自製的濃度測量方法,可測得水滴內不同位置、時間的濃度。這可應用在關於擴散、對流等領域中。

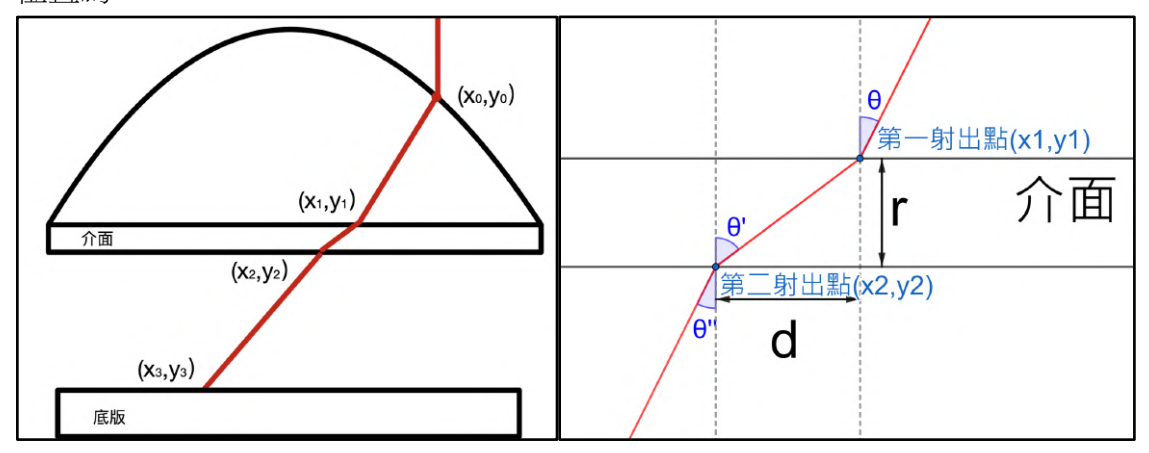
玖、參考資料

- [1] https://www.nature.com/articles/srep24628
- [2] https://jfi.uchicago.edu/~tten/Coffee.drops/Nagel.7.4.pdf
- [3] https://www.examiner.com.tw/admin/UserFiles/product_pdf/148048659322671700.pdf
- [4]https://aquaulb.github.io/book_solving_pde_mooc/solving_pde_mooc/notebooks/04_PartialDifferentialEquations/04_03_Diffusion_Explicit.html

拾、附件

附件一、濃度分佈推導

假設光在水滴中為直線前進,定義以水滴中心為原點,過水滴直徑且與介面垂直的 面作為x-y平面,雷射光以 x 軸方向來回移動並垂直射入介面,並定義下面各點的座標 位置為:



射入點 (x_0, y_0) 、第一射出點 (x_1, y_1) 、第二射出點 (x_2, y_2) 、追蹤點 (x_3, y_3)

將介面附近折射點放大示意圖

空氣的折射率定義為n1、在 (x_0,y_0) 與 (x_1,y_1) 之間的平均折射率 $(x,y)=\begin{pmatrix}x_0+x_1\\2\end{pmatrix}$ 為n2、界面的折射率為n3。右圖中r為介面厚,d為x方向折射後的位移,即 $d=\begin{vmatrix}x_1-x_2\end{vmatrix}$,其中 (x_1,y_1) 為未知,由司乃爾定律可得: $n_2sin\theta=n_3sin\theta'=n_1sin\theta''\to n_2=\frac{n_1sin\theta''}{sin\theta}$ 且 $sin\theta=\frac{\begin{vmatrix}x_0-x_1\end{vmatrix}}{\sqrt{(x_0-x_1)^2+(y_0-y_1)^2}}$ 、 $sin\theta''=\frac{\begin{vmatrix}x_3-x_2\end{vmatrix}}{\sqrt{(x_3-x_2)^2+(y_3-y_2)^2}}$

又n3、r是已知,則由①式移項可得
$$d = \frac{\frac{n_l}{n_3} \times \frac{\left|x_3 - x_2\right|}{\sqrt{\left(x_3 - x_2\right)^2 + \left(y_3 - y_2\right)^2}}}{\sqrt{\left(\frac{n_l}{n_3} \times \frac{\left|x_3 - x_2\right|}{\sqrt{\left(x_3 - x_2\right)^2 + \left(y_3 - y_2\right)^2}}}} \times r$$

而在 $x_0 > x_2 \cdot x_1 > x_2$ 時, $(x_1, y_1) = (x_2 + d, y_2 + r)$,在 $x_0 < x_2 \cdot x_1 < x_2$ 時, $(x_1, y_1) = (x_2 - d, y_2 + r)$,由移項 $n2 \times sin\theta = n1 \times sin\theta$ "可得:

$$n2 = n1 \times \frac{\sin \theta''}{\sin \theta} = n1 \times \frac{\frac{\left|x_{3} - x_{2}\right|}{\sqrt{\left(x_{3} - x_{2}\right)^{2} + \left(y_{3} - y_{2}\right)^{2}}}{\frac{\left|x_{0} - x_{1}\right|}{\sqrt{\left(x_{0} - x_{1}\right)^{2} + \left(y_{0} - y_{1}\right)^{2}}}}$$

在 $x_0 > x_2 \cdot x_1 > x_2$ 時,將 $(x_1, y_1) = (x_2 + d, y_2 + r)$ 帶入可得:

$$n2 = n1 \times \frac{\frac{\left|x_{3}-x_{2}\right|}{\sqrt{\left(x_{3}-x_{2}\right)^{2}+\left(y_{3}-y_{2}\right)^{2}}}}{\frac{\left|x_{0}-x_{2}-d\right|}{\sqrt{\left(x_{0}-x_{2}-d\right)^{2}+\left(y_{0}-y_{2}-r\right)^{2}}}} = n1\frac{\left|x_{3}-x_{2}\right|}{\sqrt{\left(x_{0}-x_{2}-d\right)^{2}+\left(y_{0}-y_{2}-r\right)^{2}}}$$

$$n2 = n1 \times \frac{\frac{\left|x_{3}-x_{2}\right|}{\sqrt{\left(x_{3}-x_{2}\right)^{2}+\left(y_{3}-y_{2}\right)^{2}}}}{\frac{\left|x_{0}-x_{2}+d\right|}{\sqrt{\left(x_{0}-x_{2}+d\right)^{2}+\left(y_{0}-y_{2}-r\right)^{2}}}} = n1\frac{\left|x_{3}-x_{2}\right|}{\left|x_{0}-x_{2}+d\right|}\frac{\sqrt{\left(x_{0}-x_{2}+d\right)^{2}+\left(y_{0}-y_{2}-r\right)^{2}}}{\sqrt{\left(x_{3}-x_{2}\right)^{2}+\left(y_{3}-y_{2}\right)^{2}}}$$

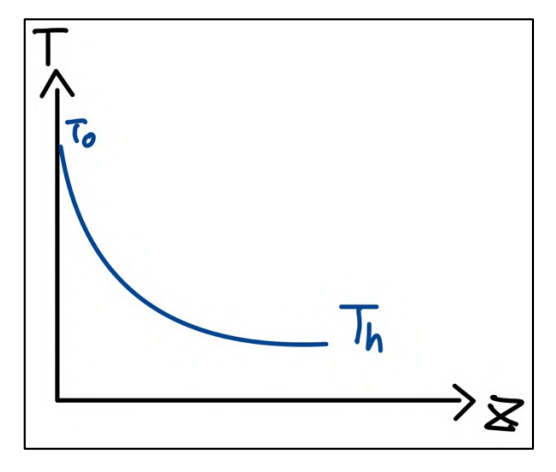
附件二、折射率C++程式

```
#include<iostream>
        #include<math.h>
using namespace std;
         int main(){
               int k;
cin>>k;
               10
11
12
13
14
15
16
17
18
19
20
21
22
23
24
25
26
27
                     cin>>Pzero[i][0]>>Pzero[i][1];
                cout<<"輸入第二射出點";
               for(int i=0;i<k;i++){
                    cin>>Ptwo[i][0]>>Ptwo[i][1];
               cout<<"追蹤點";
               for(int i=0;i<k;i++){
    cin>>Pthree[i][0]>>Pthree[i][1];
                for(int i=0:i<k:i++){
                      initial ==o;1
initial =o;1
sinthetapp[i]=fabs(Pthree[i][0]-Ptwo[i][0])/
pow(pow(Pthree[i][0]-Ptwo[i][0],2)+pow(Pthree[i][1]-Ptwo[i][1],2),0.5);
d[i]=m*sinthetapp[i]*r/(pow(1-pow(m*sinthetapp[i],2),0.5));
28
29
30
31
32
33
34
35
36
37
38
39
40
41
42
43
44
45
                for(int i=0;i<k;i++){
                      if(Pzero[i][0]>Ptwo[i][0]){
   Pone[i][0]=Ptwo[i][0]+d[i];
   Pone[i][1]=Ptwo[i][1]+r;
                            Pone[i][0]=Ptwo[i][0]-d[i];
Pone[i][1]=Ptwo[i][1]+r;
                for(int i=0;i<k;i++){
                      n[i]=None*fabs(Pthree[i][0]-Ptwo[i][0])*pow(pow(Pzero[i][0]-Pone[i][0],2)+pow(Pzero[i][1]-Pone[i][1],2),0.5));

(fdabs(Pzero[i][0]-Pone[i][0])*pow(pow(Pthree[i][0]-Ptwo[i][0],2)+pow(Pthree[i][1]-Ptwo[i][1],2),0.5));

cout<<n[i]<=""";";
```

附件三、推導



假設
$$(z + \alpha)T = \beta$$

其中在 $z=0$ 處 $T=T_{o}$ 、在 $z=h$ 處 $T=T_{h}$,帶入可得:
$$\alpha T_{o} = \beta$$

$$(h+\alpha)T_{h} = \beta$$
 解聯立可得 $\alpha = \frac{hT_{h}}{T_{o}-T_{h}}$ 、 $\beta = \frac{hT_{h}T_{o}}{T_{o}-T_{h}}$